

# **AS750 Observational Astronomy**

Prof. Sebastian Lopez  
Lecture 11

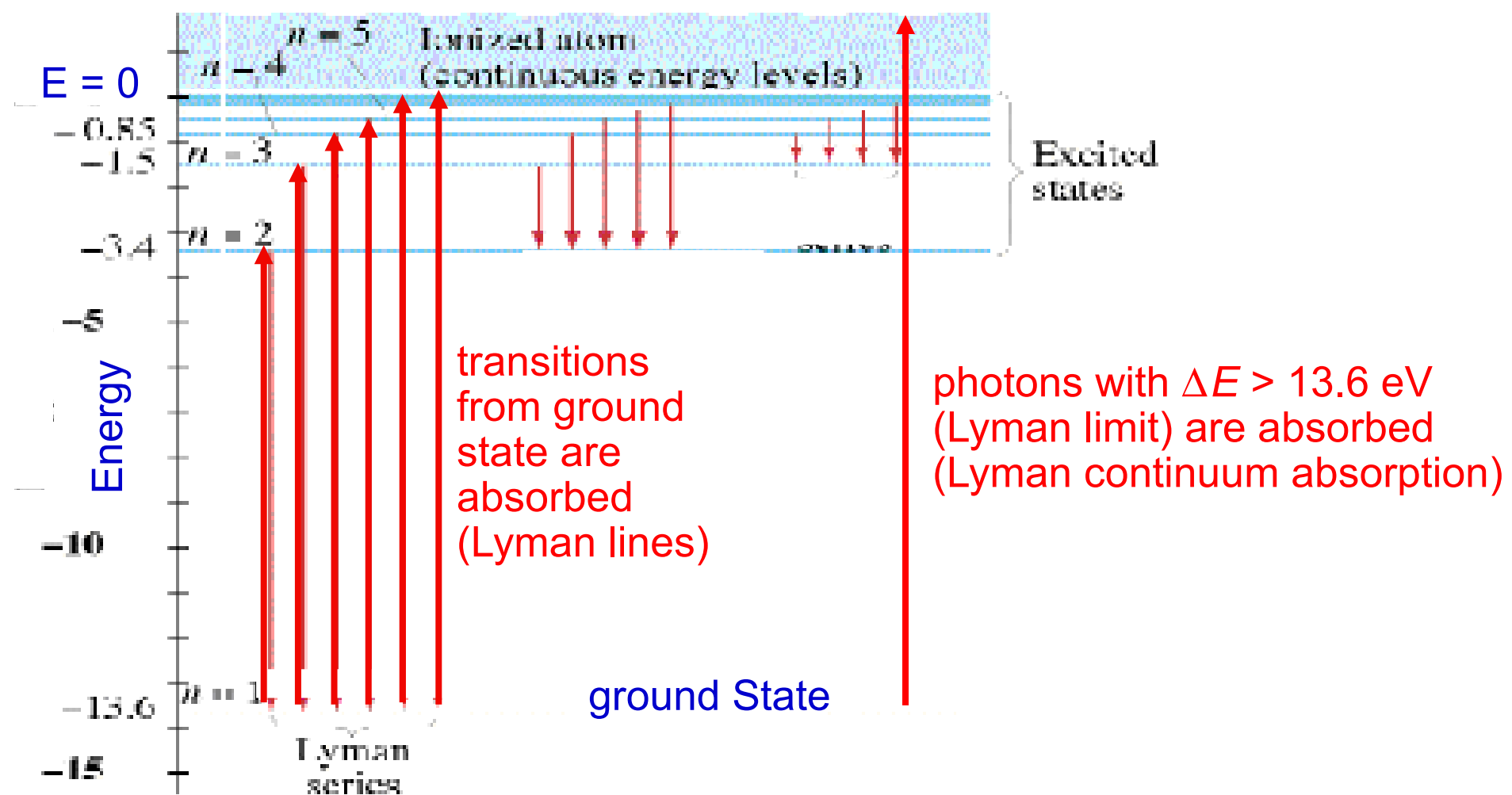
# Conceptos de espectroscopía

- Propósitos de la espectroscopía
- Fenomenología, perfil instrumental
- Perfil de Voigt
- Ancho equivalente, Curva de crecimiento
- Espectrógrafos

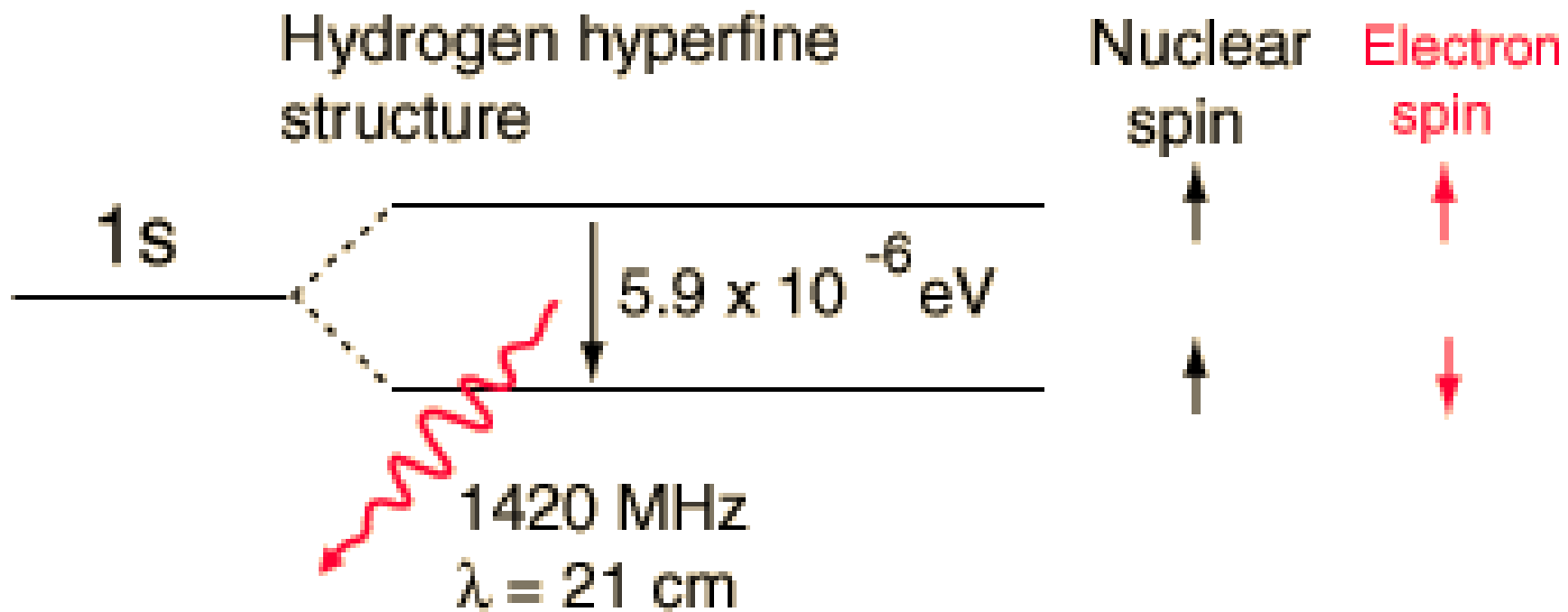
# Propósitos de la espectroscopía

- Medir longitudes de onda de líneas de absorción y emisión.
- Medir intensidades relativas de líneas de emisión.
- Medir anchos equivalentes de líneas de absorción.
- Medir distribución de energía del continuo.

# Niveles de energía, series: absorción y recombinación



# Estructura hiperfina del HI



Líneas prohibidas --> temperatura y densidad del gas

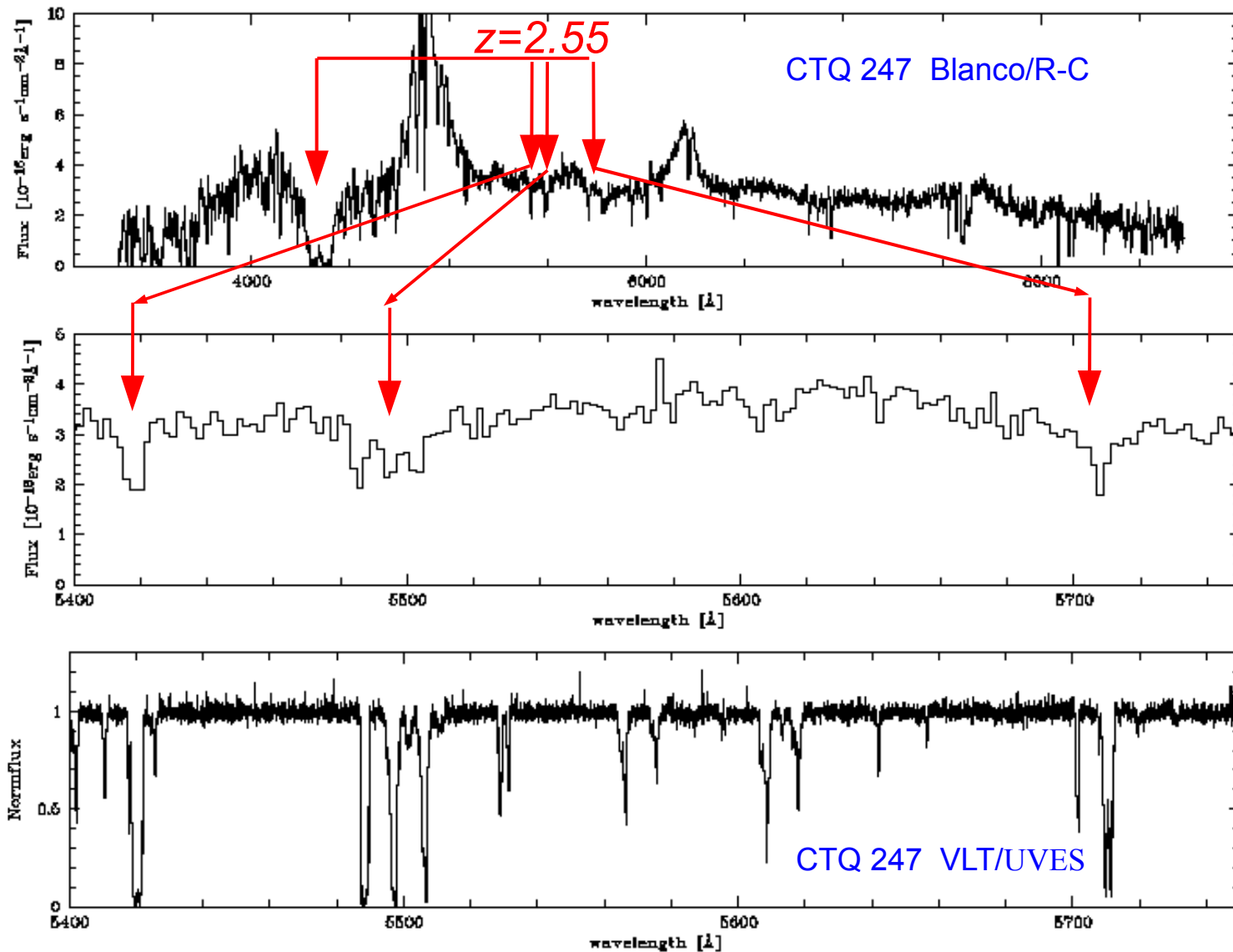


Foto: Sebastian Lopez

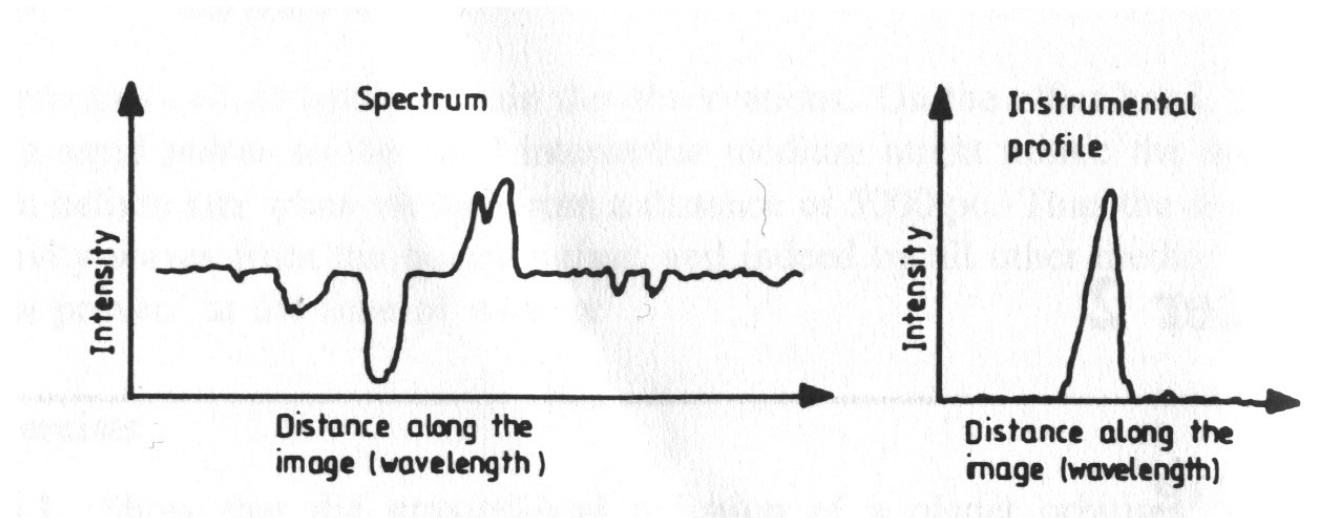
## Abundancia en estrellas, ISM y IGM

- Transiciones permitidas por reglas de selección de átomos en diferentes estados de ionización (e.g. Calcio, Sodio, Silicio, Azufre, Oxígeno, Hierro).
- Las abundancias relativas de estos elementos nos dicen acerca del proceso de nucleosíntesis que los creó
- Las abundancias se pueden obtener de los perfiles de las líneas.

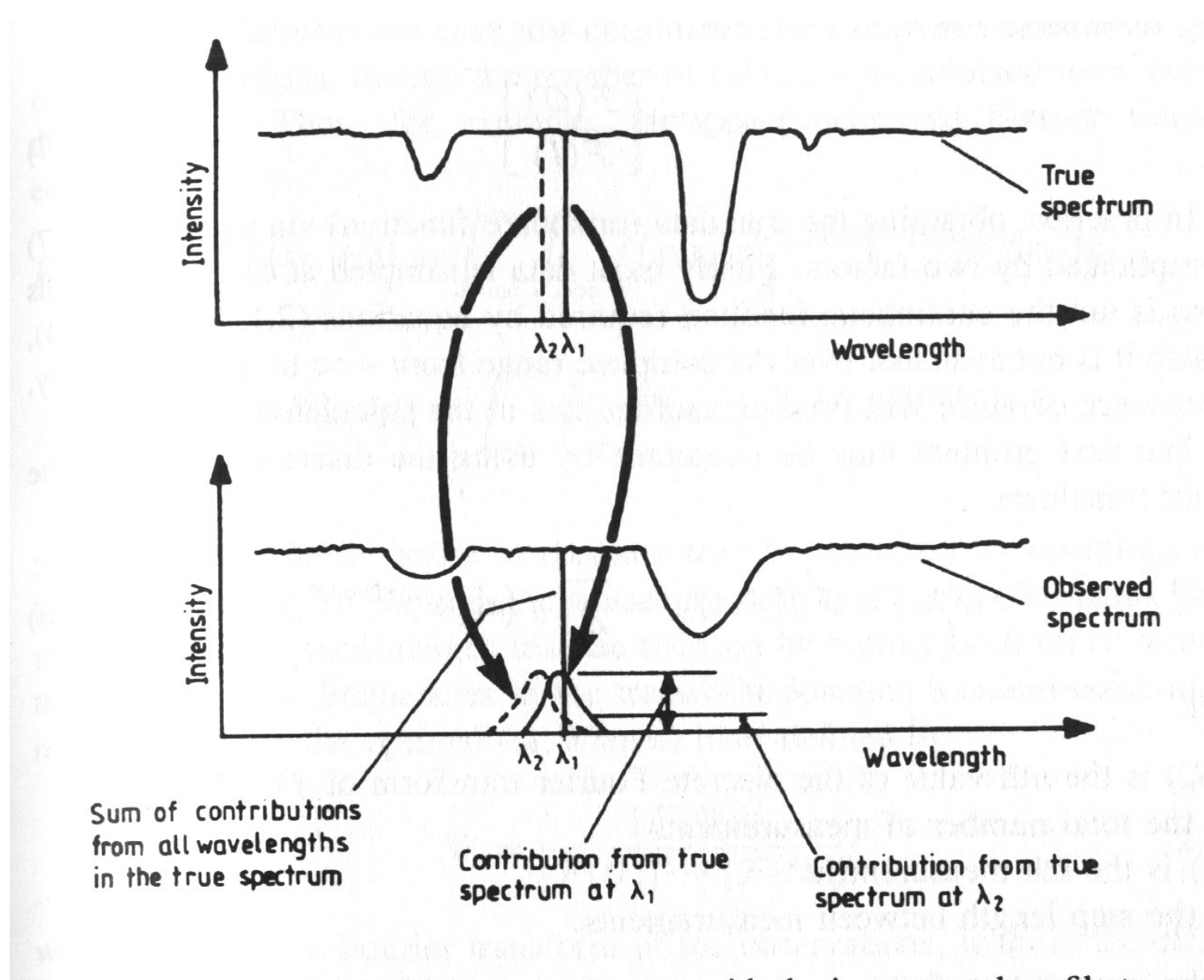
# Espectros del cuasar CTQ247 a z=3.1



# Perfil instrumental



# Convolución



$$O(\lambda) = \int_0^{\infty} T(\lambda') I(\lambda - \lambda') d\lambda'$$

$$O = T * I$$

## Transformada de Fourier

$$F(O) = F(T * I) = F(I) \times F(T)$$

Señal “verdadera”

$$T = F^{-1}[F(O) / F(I)]$$

AS750 Observational Astronomy  
Prof. Sebastian Lopez

3 problemas: datos discretos, O desconocida en todo el rango, ruido

Usar T. de Fourier discreta. Delta es el “paso” (sampling).

$$F_D(S_n) = \mathcal{F}_D(f(x))_n = \sum_{k=0}^{N-1} f(x_k) e^{-2\pi i k n / N} \Delta$$

$$f(x_k) = \mathcal{F}_D^{-1}(F_D(S_n)) = \sum_{n=0}^{N-1} F_D(S_n) e^{2\pi i k n / N} \frac{1}{N}$$

**Teorema de Nyquist:** Paso máximo para no perder información en  $T = F^{-1}[F(O) / F(I)]$

$$\Delta = 1/(2\omega_{max})$$

Alternativamente:

$$\omega = 1/(2\Delta)$$

Es la frecuencia máxima (“de Nyquist”) que podemos recobrar para un sampleo dado.

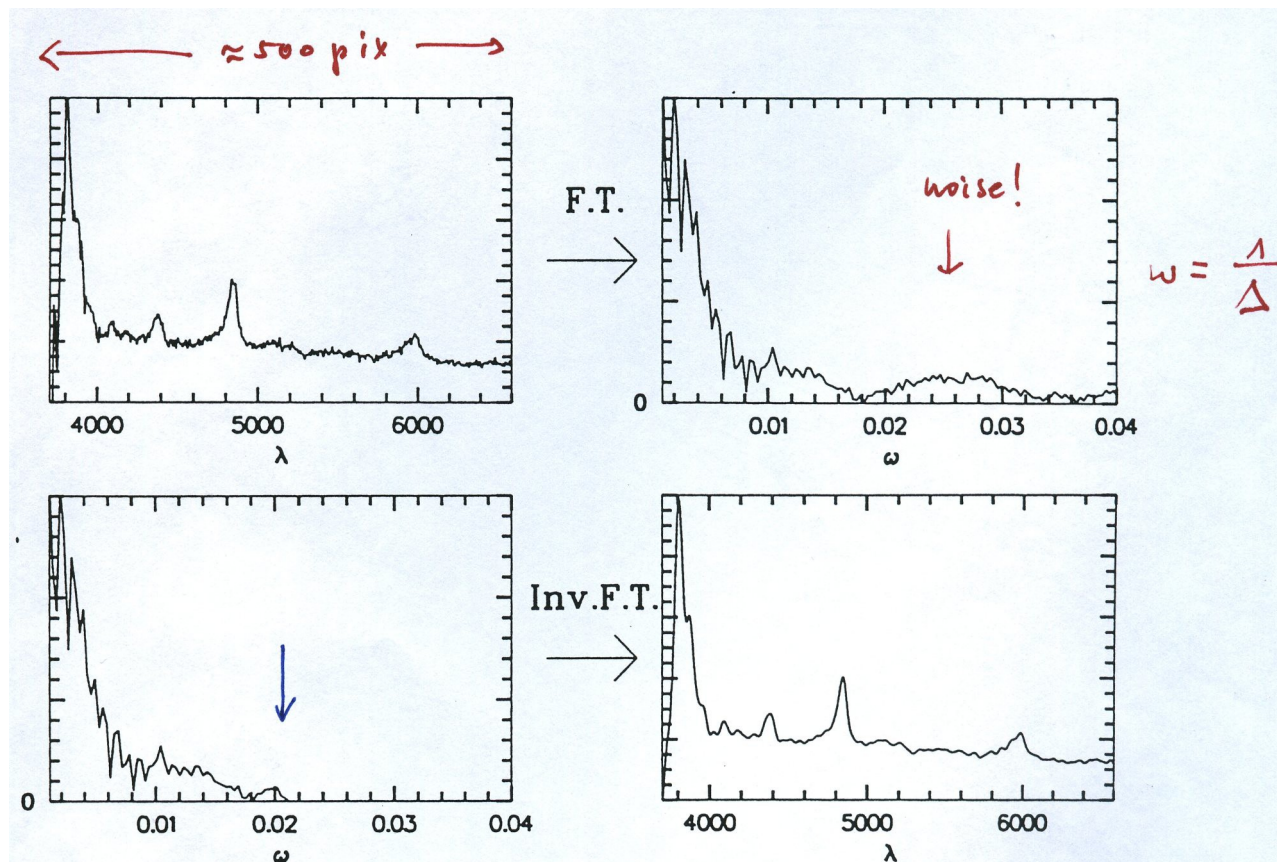
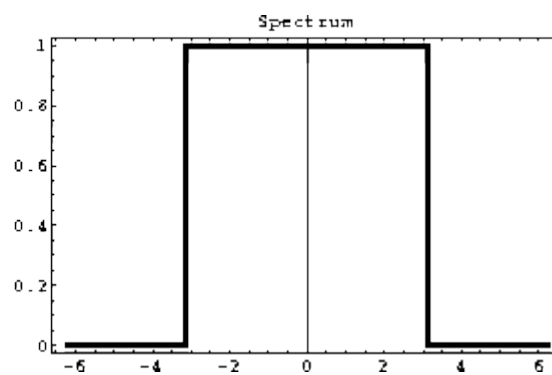
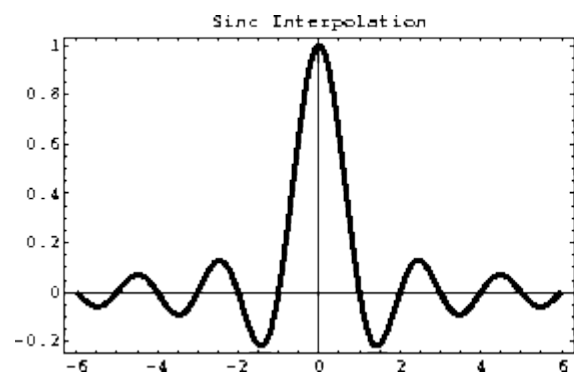


Abbildung 2.3: Oben: Leistungsspektrum  $\sqrt{|\mathcal{F}_n|^2 + |\mathcal{F}_{-n}|^2}$  des Quasarspektrums HE0110-2738. Die Frequenzeneinheit ist  $\text{Pixel}^{-1}$ . Unten: Inverse Fourier-Transformation, nachdem die Frequenzen höher als  $0.02 \text{ Pixel}^{-1}$  abgezogen worden sind. Dieses Verfahren entspricht dem Filtern des Spektrums mit dem Tiefpaßfilter  $2\omega_0 \sin(2\pi\omega_0\lambda)/2\pi\omega_0\lambda$ , wo  $\omega_0$  die Abschneidefrequenz ist. Das Spektrum wurde mit MIDAS-Prozeduren verarbeitet.



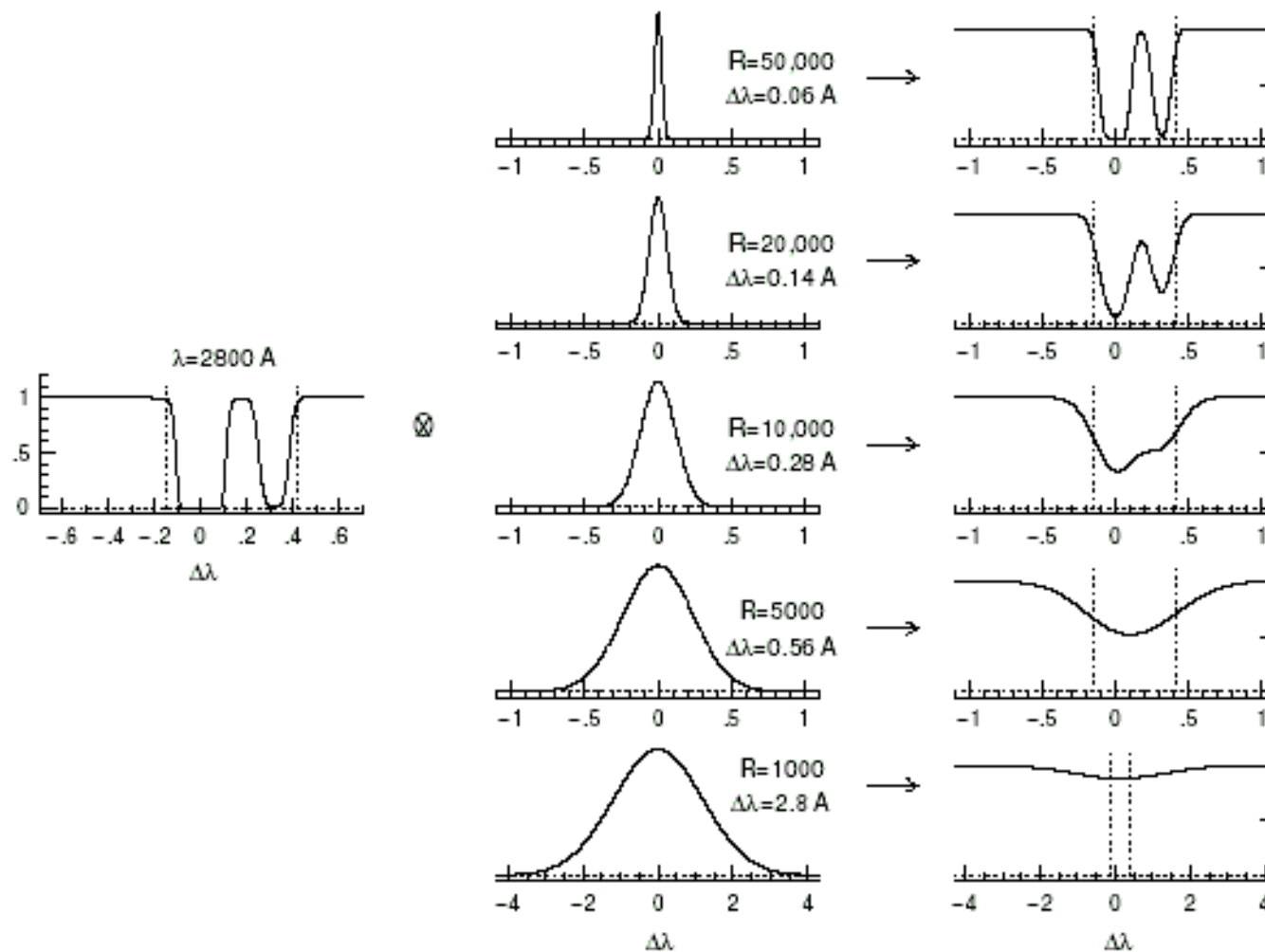
Es importantísimo que los datos estén “sampleados” a frecuencia suficientemente alta para describir el perfil instrumental

- Resolución espectral y ancho instrumental

$$R \equiv \frac{\lambda}{\Delta \lambda}$$

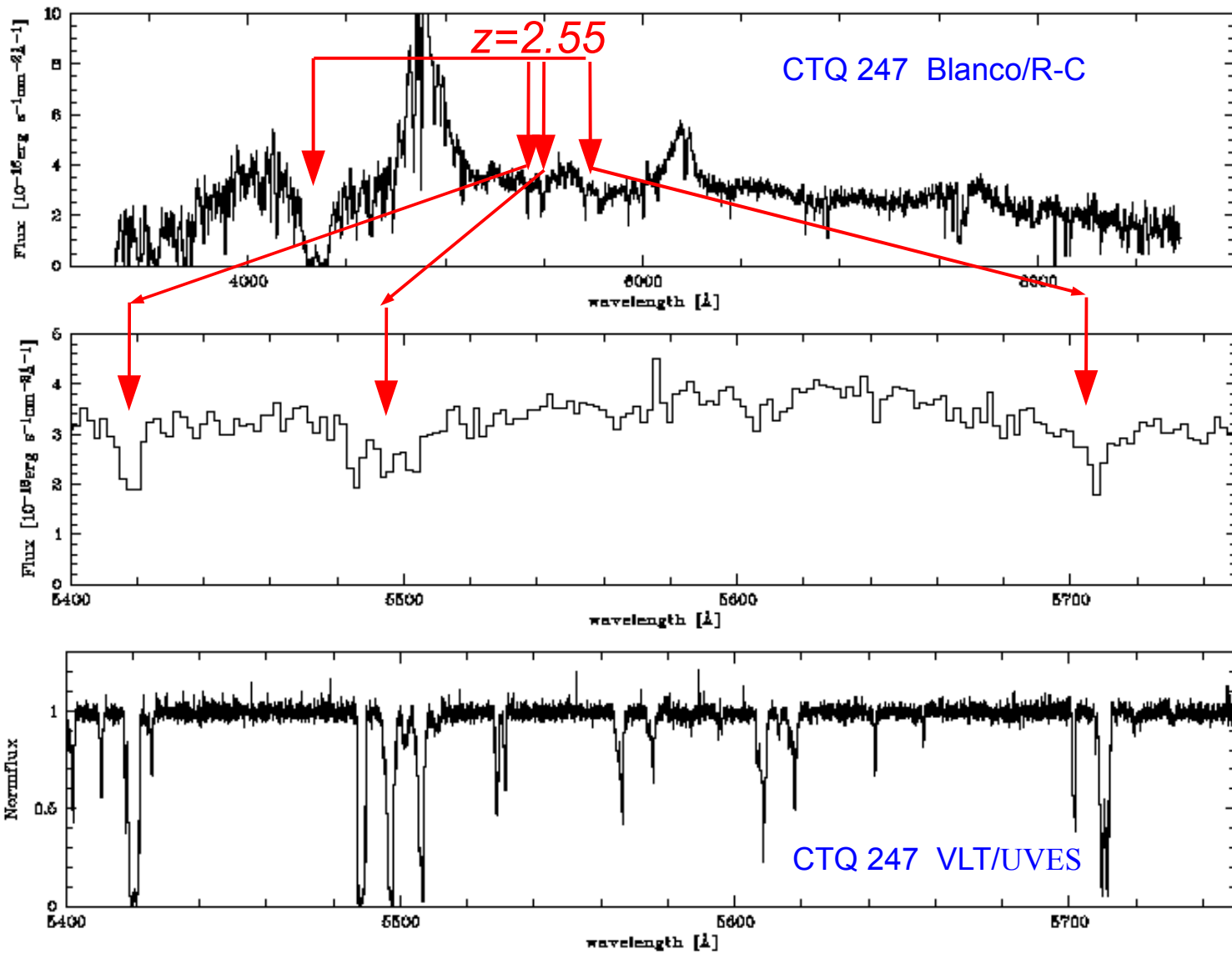
$$\frac{\lambda}{\Delta \lambda} = \frac{c}{\Delta \nu}$$

- Resolución espectral y ancho instrumental



$$\frac{S}{N} = \infty !$$

- Resolución espectral y ancho instrumental

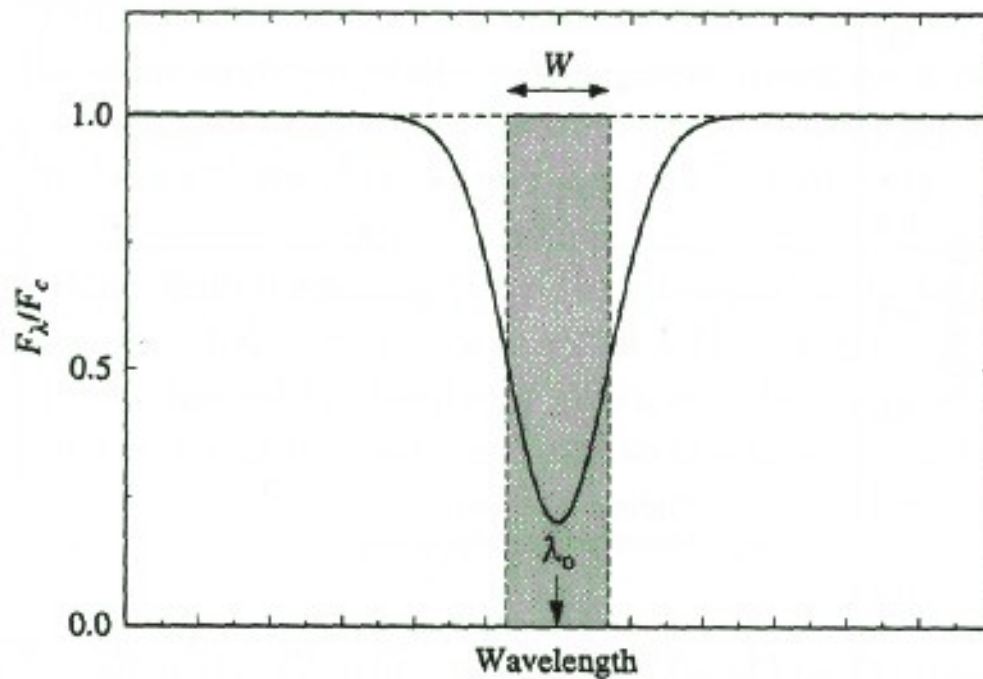


$$\frac{\lambda}{\Delta \lambda} = 800$$

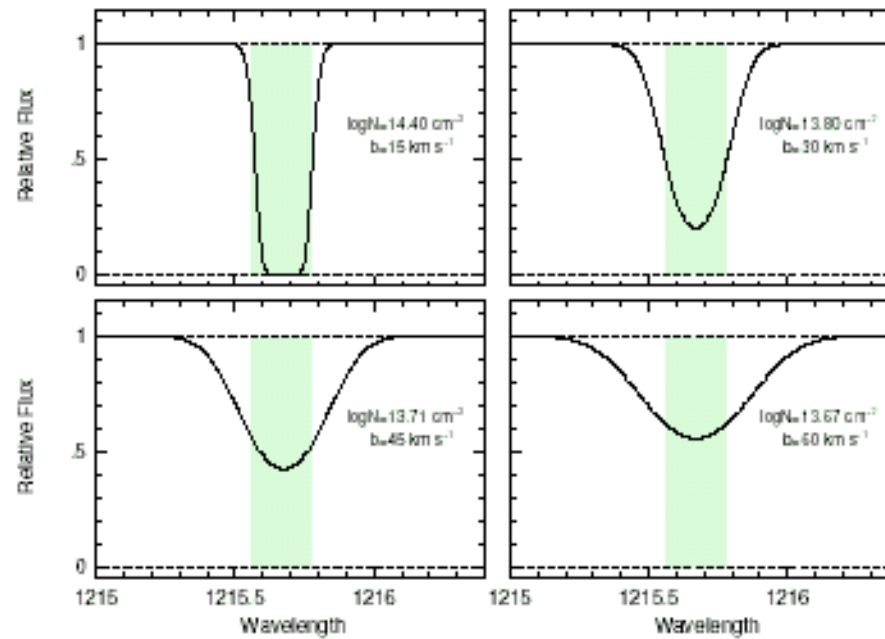
$$\frac{\lambda}{\Delta \lambda} = 45000$$

- Líneas de absorción. Ancho equivalente, W

$$W(\lambda_0) = \int \left( \frac{(F_c - F_\lambda)}{F_c} \right) d\lambda$$

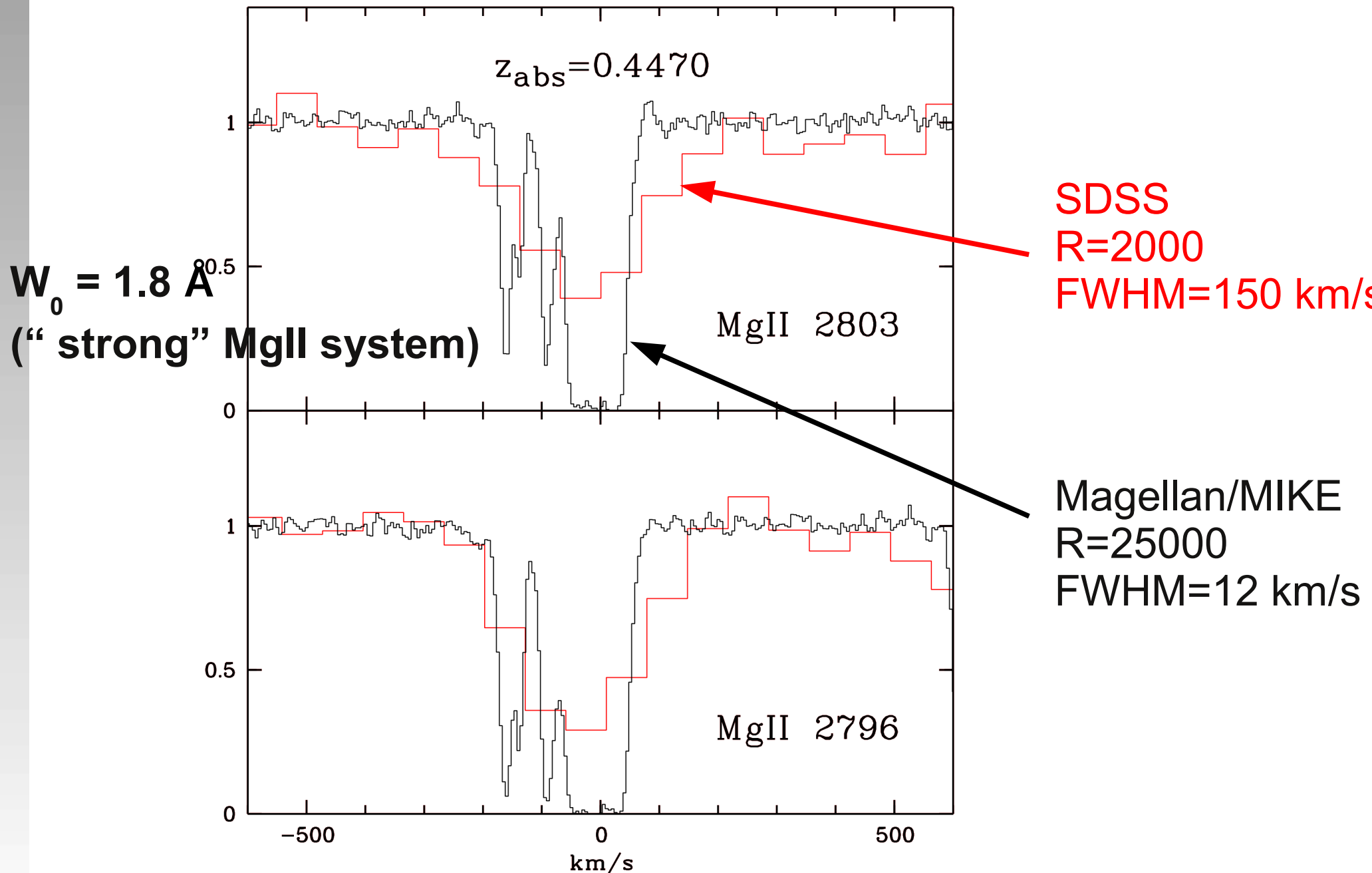


- Líneas de absorción. Ancho equivalente,  $W$ 
  - Cantidad positiva
  - Unidades de longitud de onda ( $\text{\AA}$ )
  - No depende de resolución espectral.
  - $W_0 = W_{\lambda} / (1+z)$



$$W=0.21 \text{\AA}$$

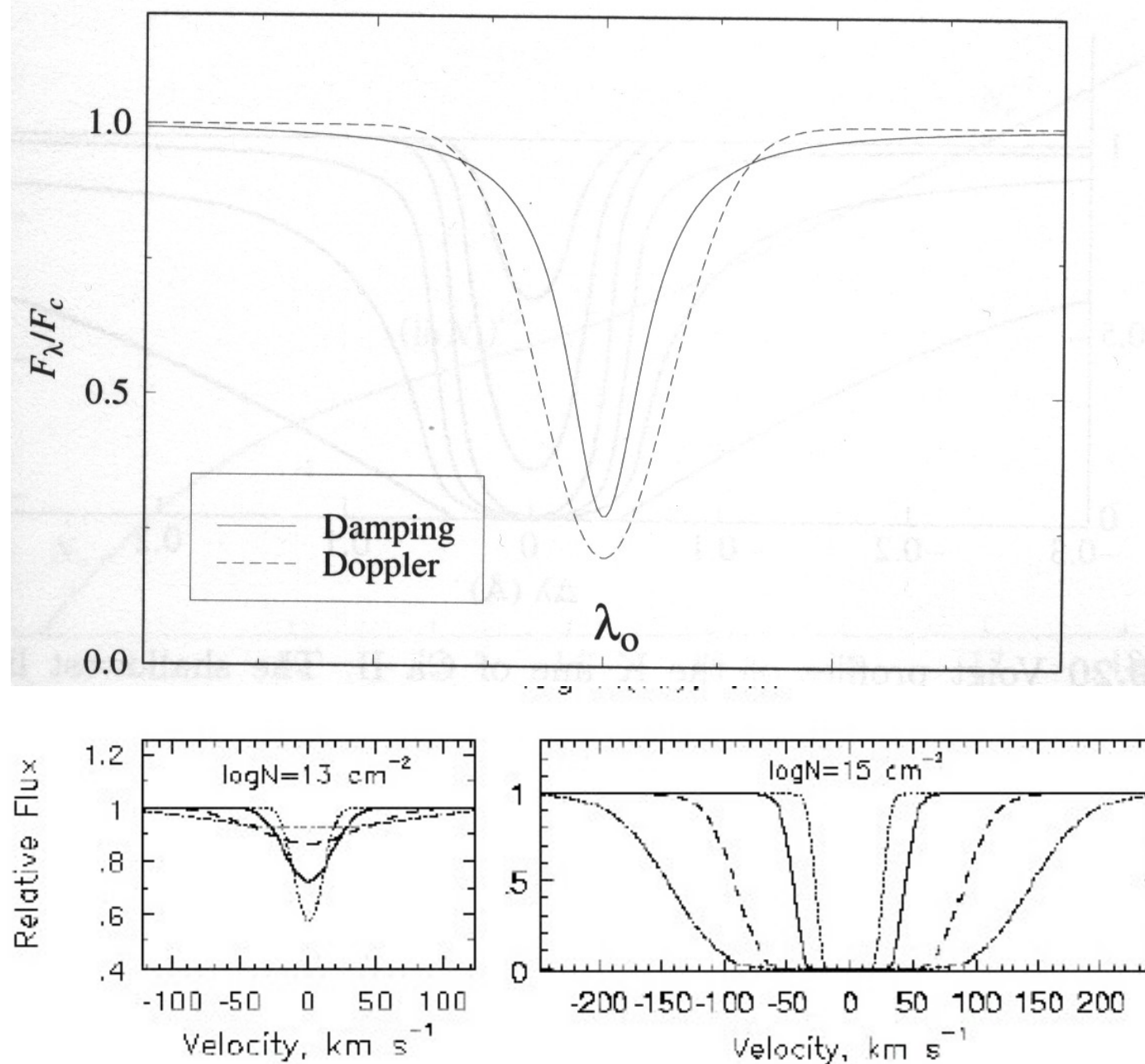
QSO 231509.34+001026.2



# Formación de una línea absorción/emisión

- Tres mecanismos de ensanchamiento:
  - Ancho natural (QM) --->> Lorentziana
  - Doppler ----> gaussiana
  - Colisiones ----> Lorentziana

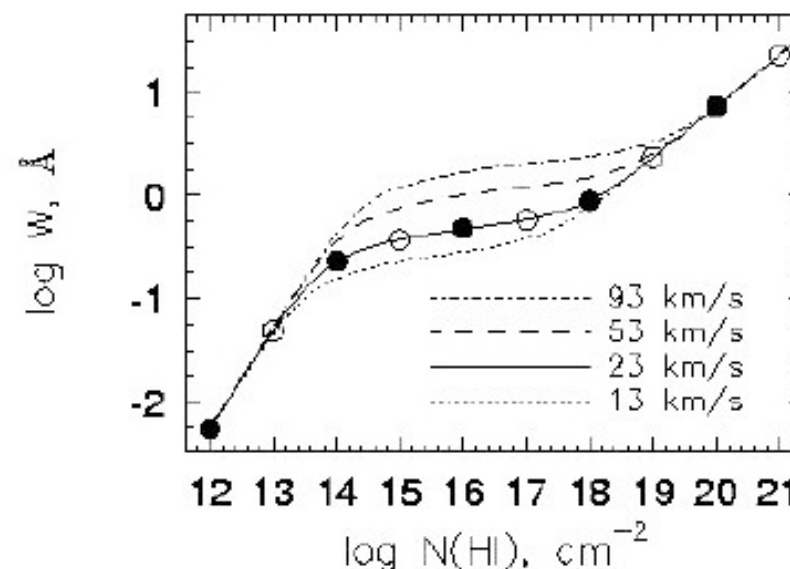
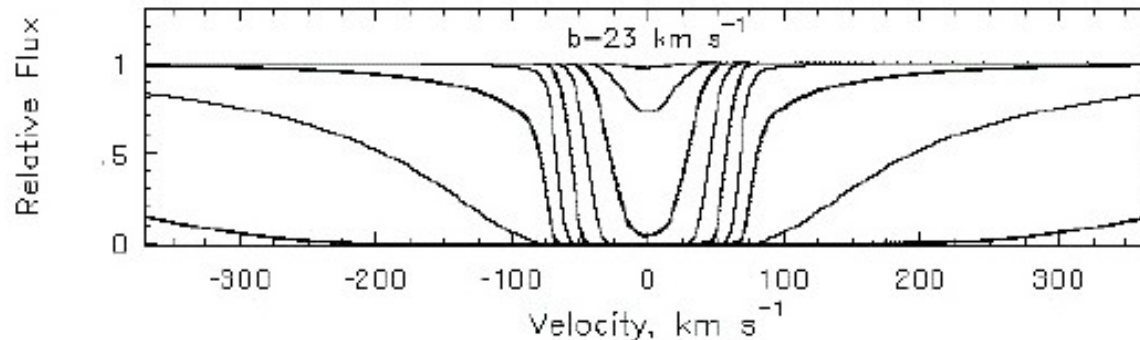
# Perfil de Voigt, densidad de columna N, parámetro Doppler, b



- Curva de crecimiento

- Tres regímenes:

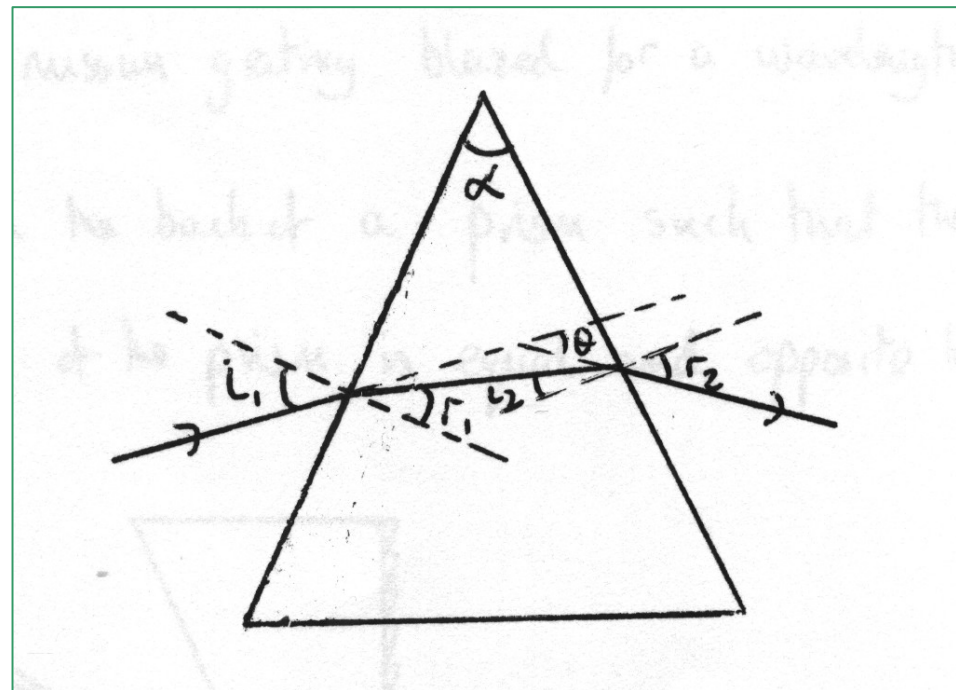
- Línea no saturada (profundidad óptica pequeña)  $W(\lambda_0) \propto \tau_0$
- Línea saturada (no se transmiten fotones en la línea)  $W \propto \sqrt{\log \tau_0}$ .
- Línea extremadamente saturada  $W(\lambda_0) \propto \tau_0^{1/2}$ .



Dispersión de la luz, dos principios fundamentales:

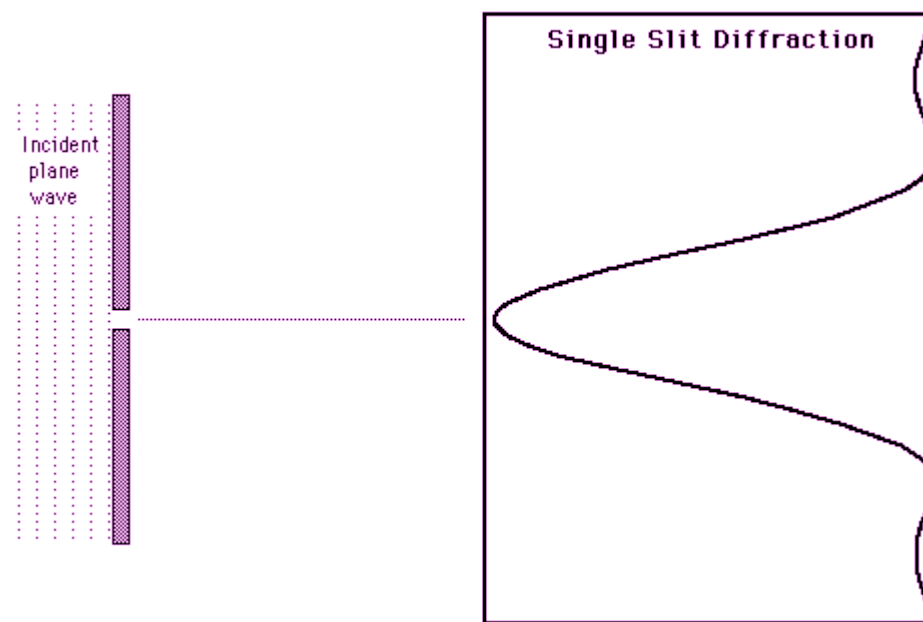
1. refracción diferencial;
2. interferencia

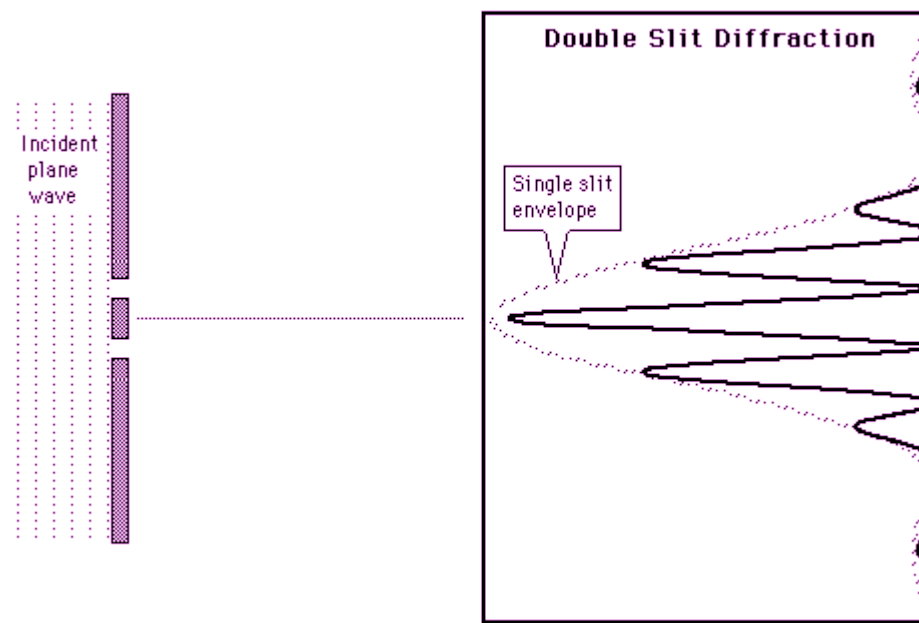
Prismas sólo en algunas aplicaciones

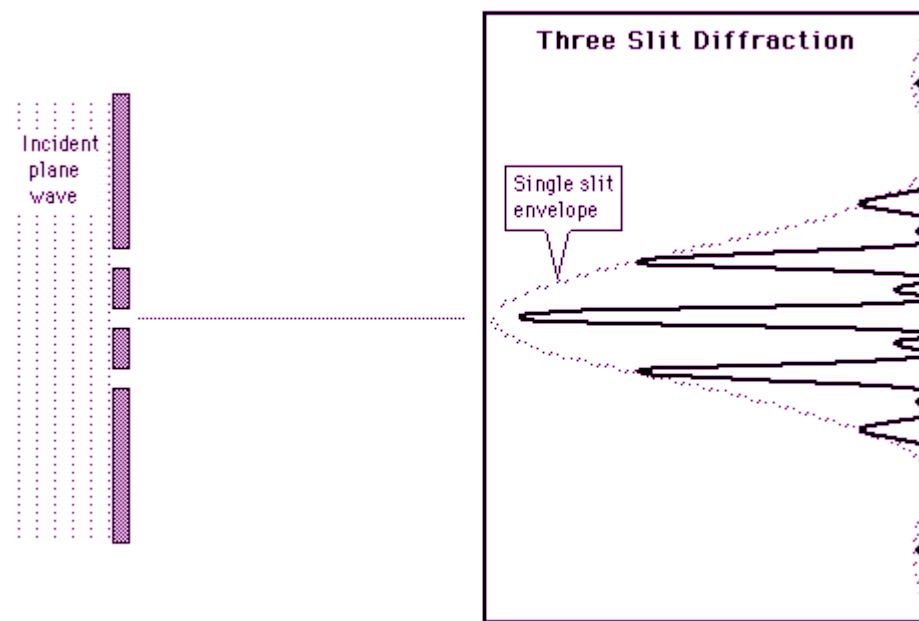


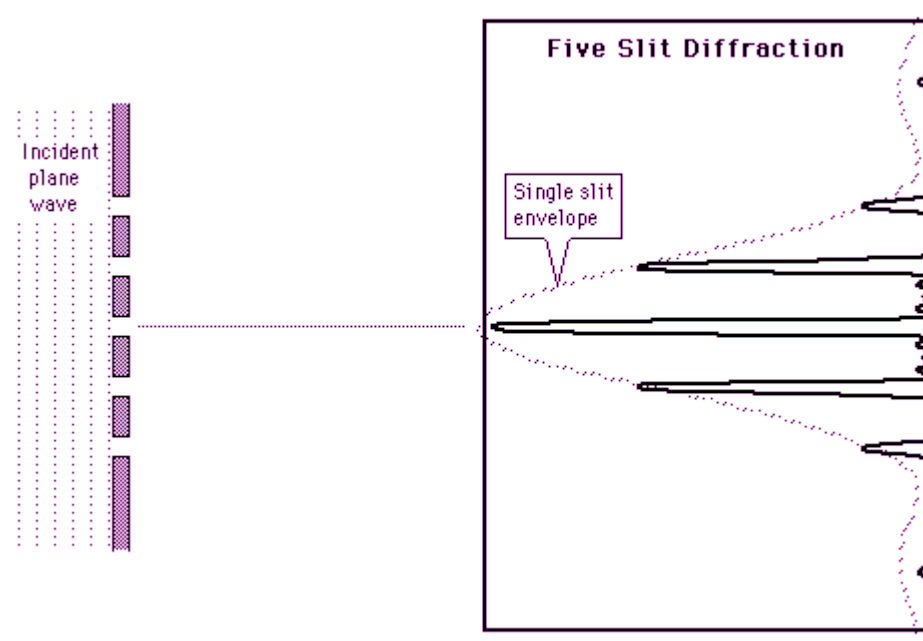
Prof. Sebastian Lopez

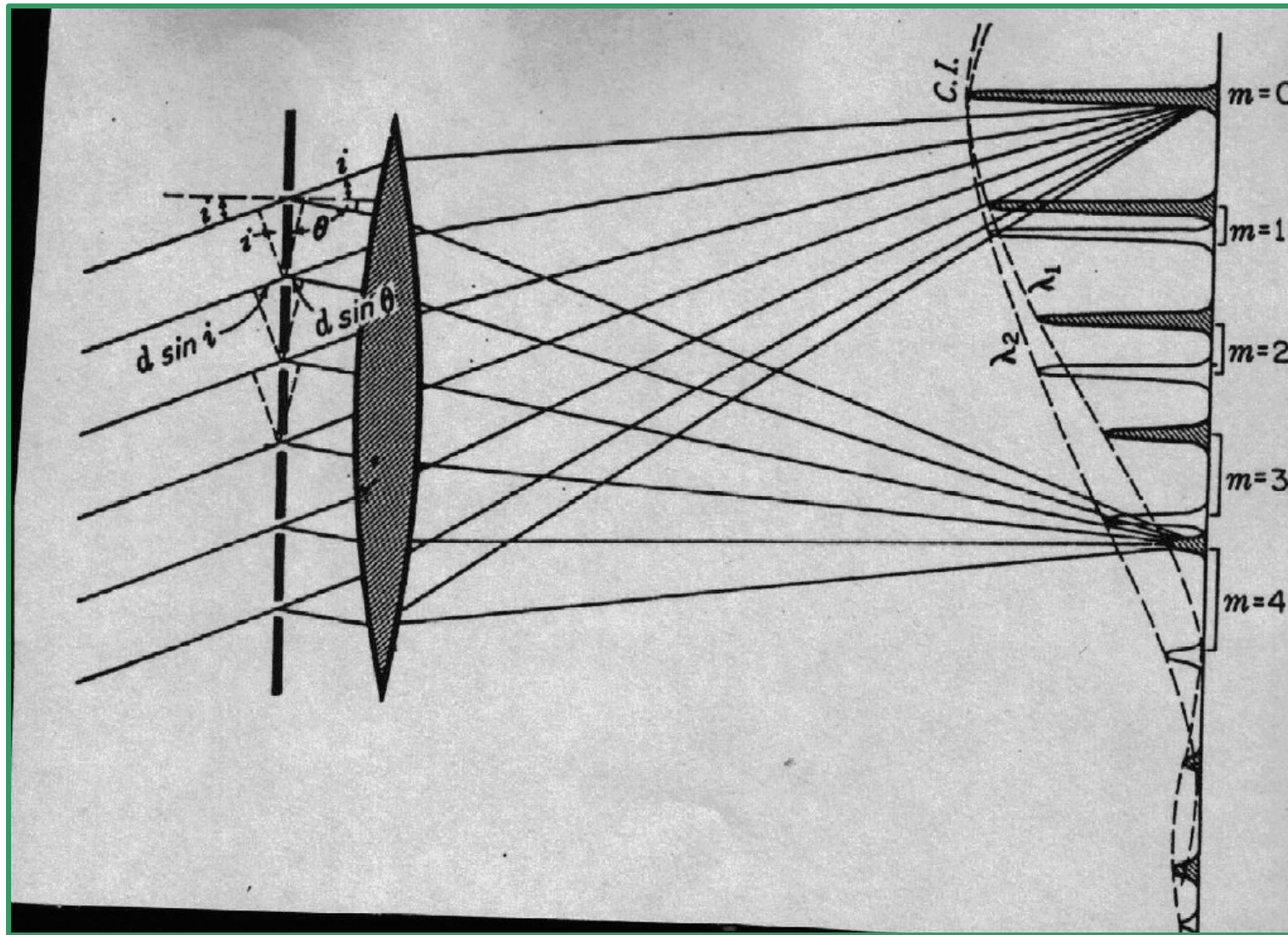
# “Gratings” (grillas) de difracción.



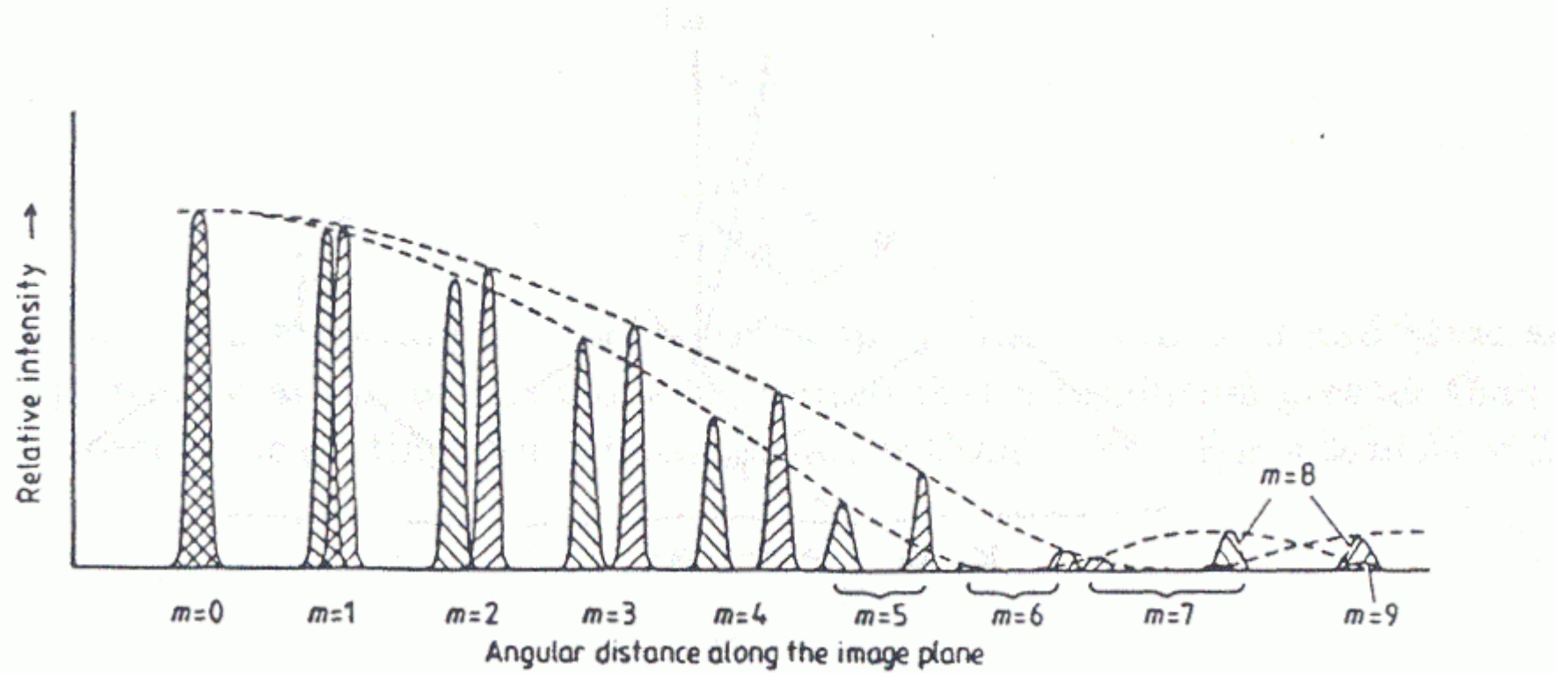








AS750 Observational Astronomy  
Prof. Sebastian Lopez



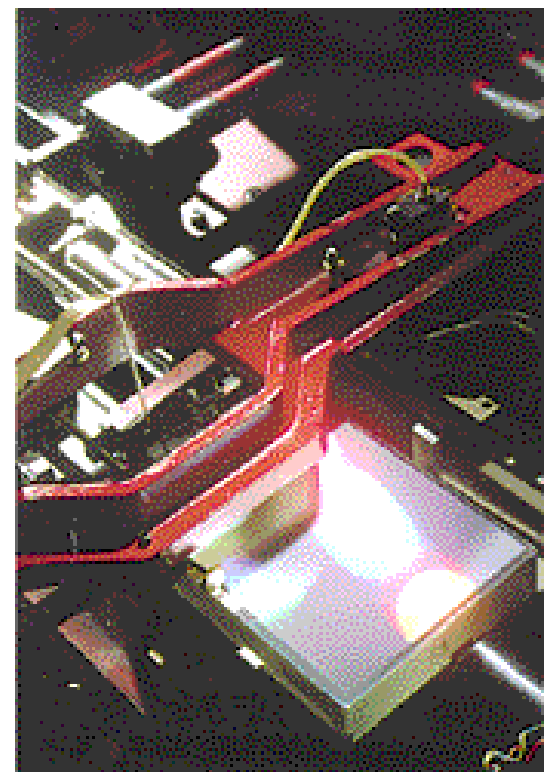
Poder de resolución:

$$R \equiv \lambda / \delta \lambda = N \times m$$

Orden  $m=100 \rightarrow$   
 $R=100.000$

Gratings (“grillas”) normalmente de reflección (no de transmisión). La descripción del patrón de interferencia es la misma.

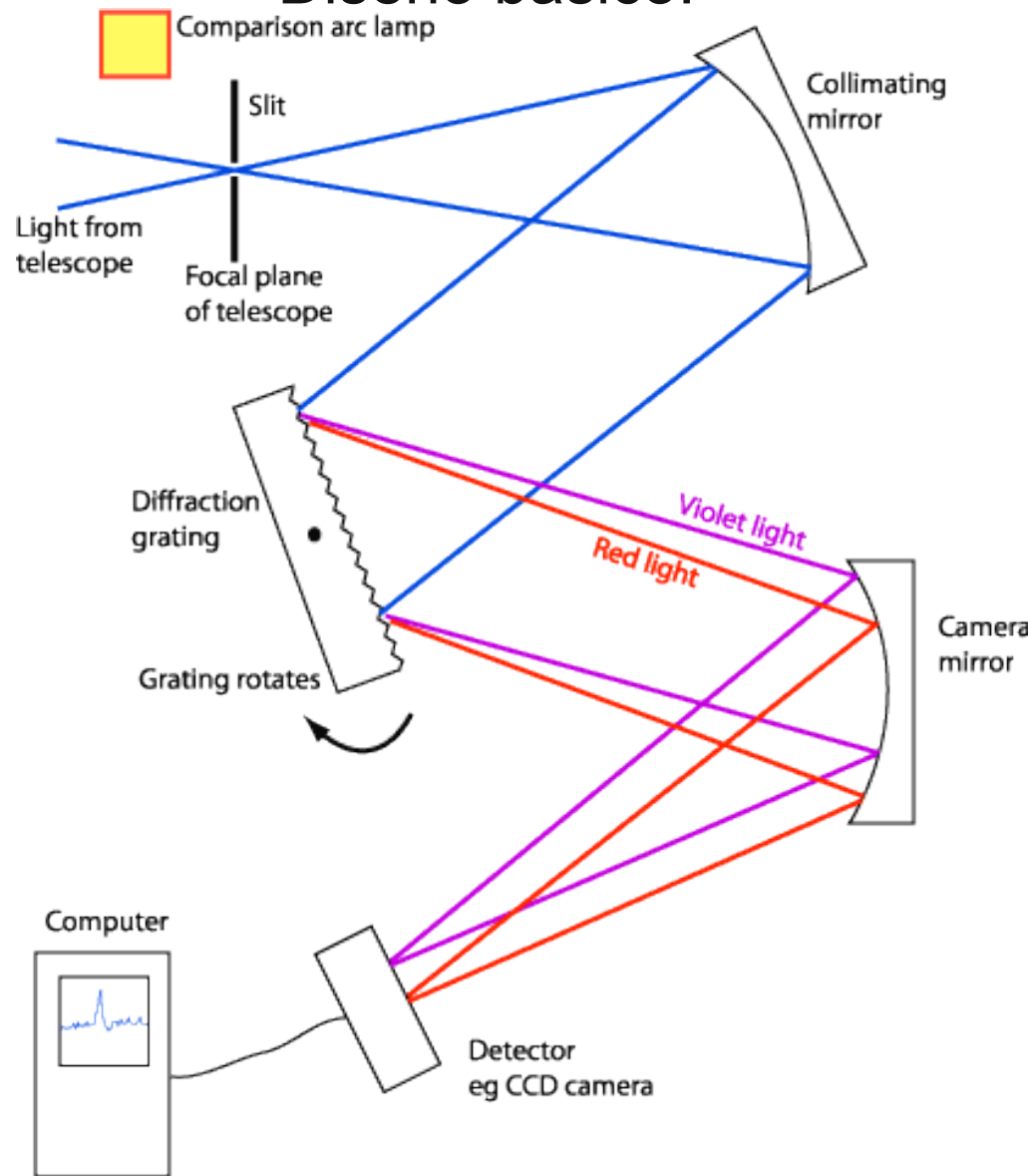
Construcción por métodos holográficos sobre superficie reflectante. Grating “echelle” de alta resolución típicamente 100-1000 surcos/mm



Ruling machine making a 600-line per millimeter diffraction grating.

The metallic master will be used to make copies for wavelength division multiplexers.

# Diseño básico:

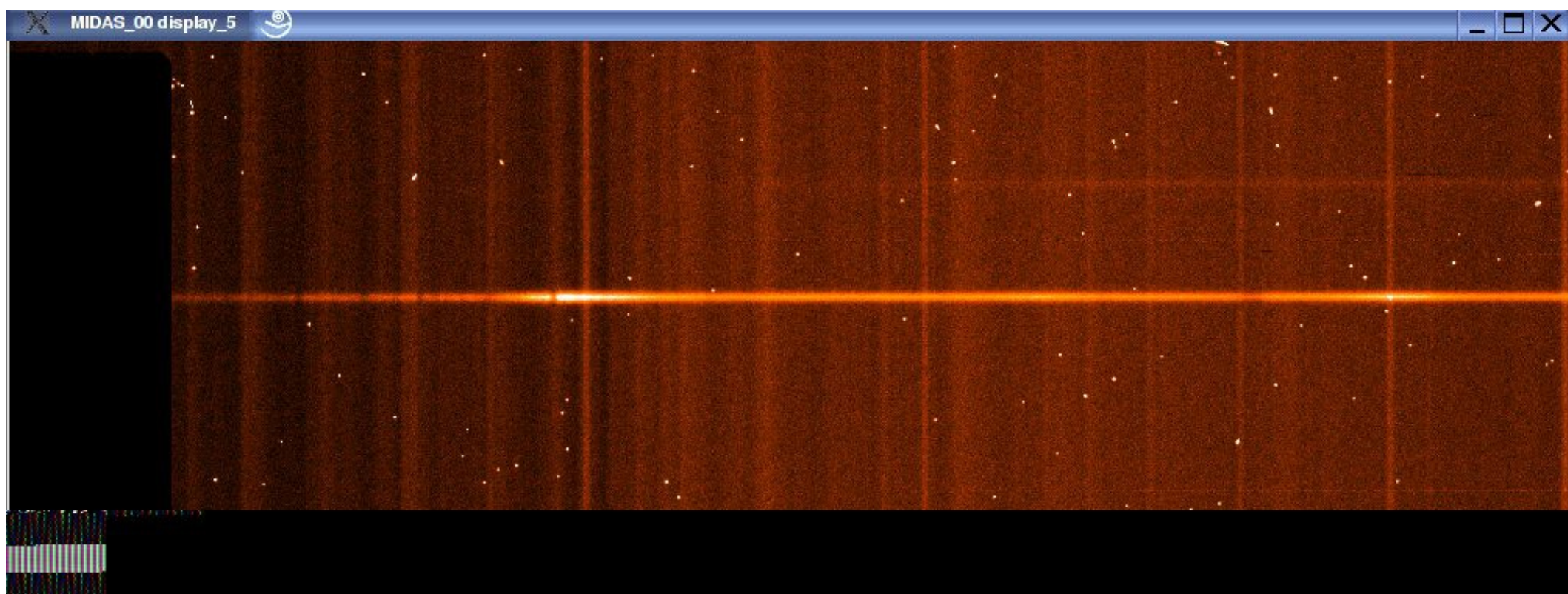


A Schematic Diagram of a Slit Spectrograph

AS750 Observational Astronomy  
Prof. Sebastian Lopez

# Ejemplos

# Espectro “long-slit”



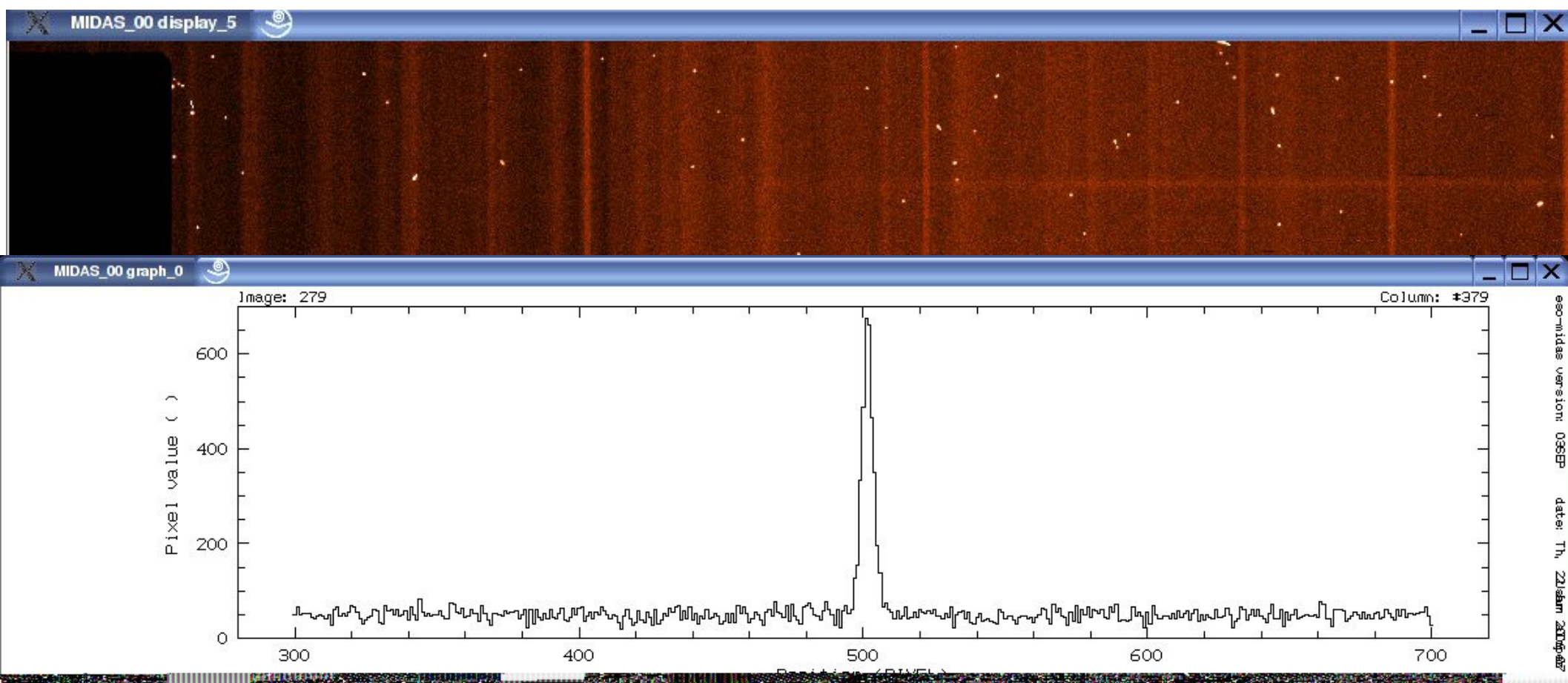
arcsec



$\lambda$

AS750 Observational Astronomy  
Prof. Sebastian Lopez

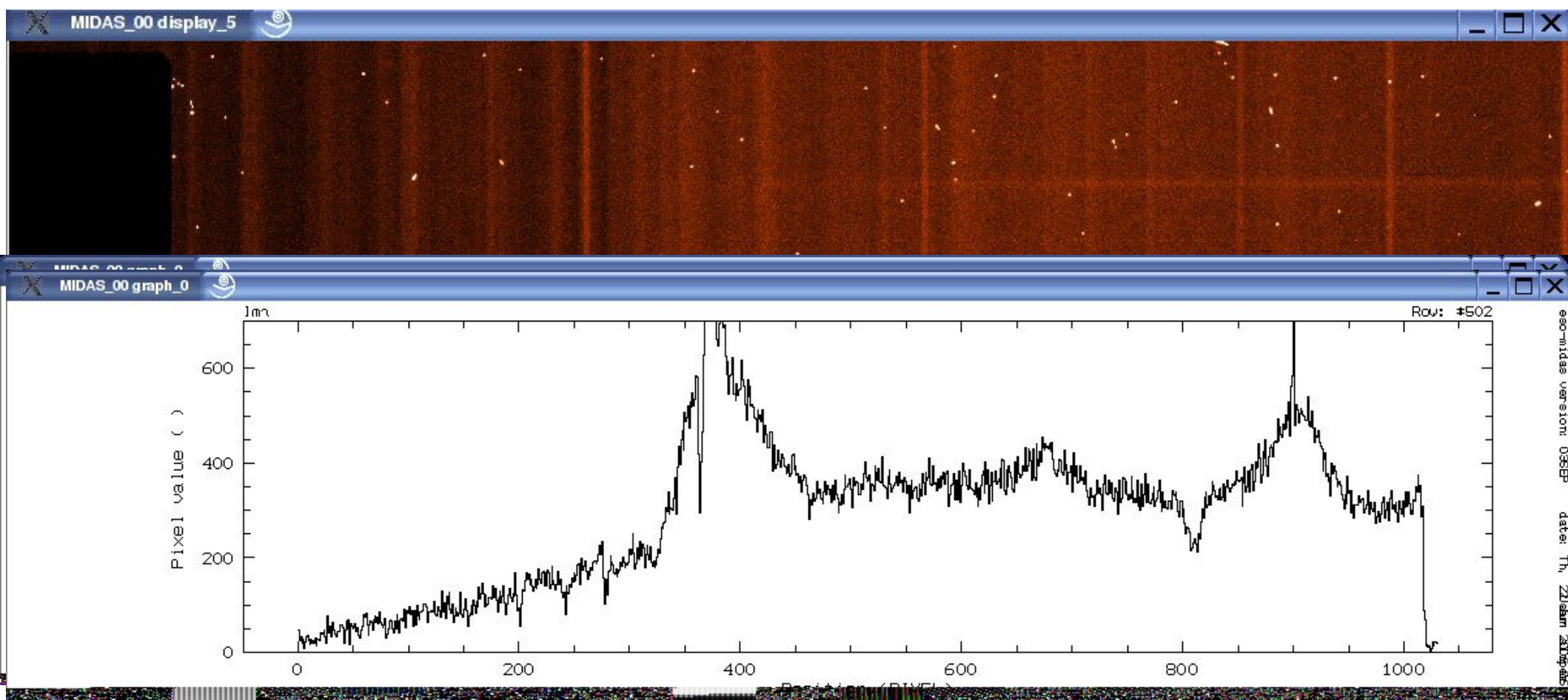
# Espectro “long-slit”



AS750 Observational Astronomy  
Prof. Sebastian Lopez

→  
**Pixeles (arcsec)**

# Espectro “long-slit”

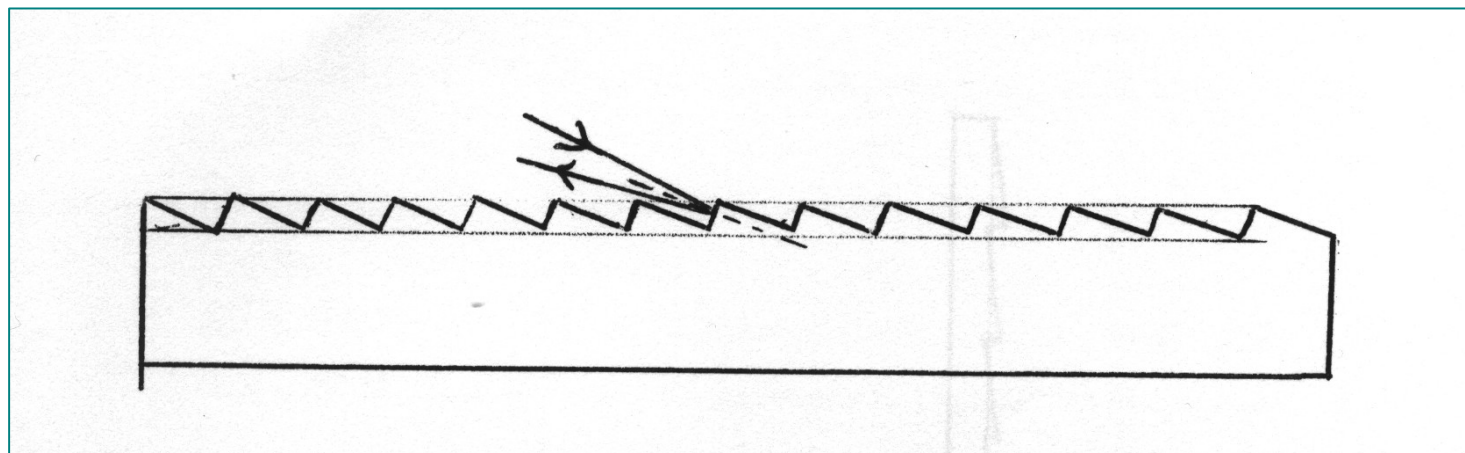


AS750 Observational Astronomy  
Prof. Sebastian Lopez

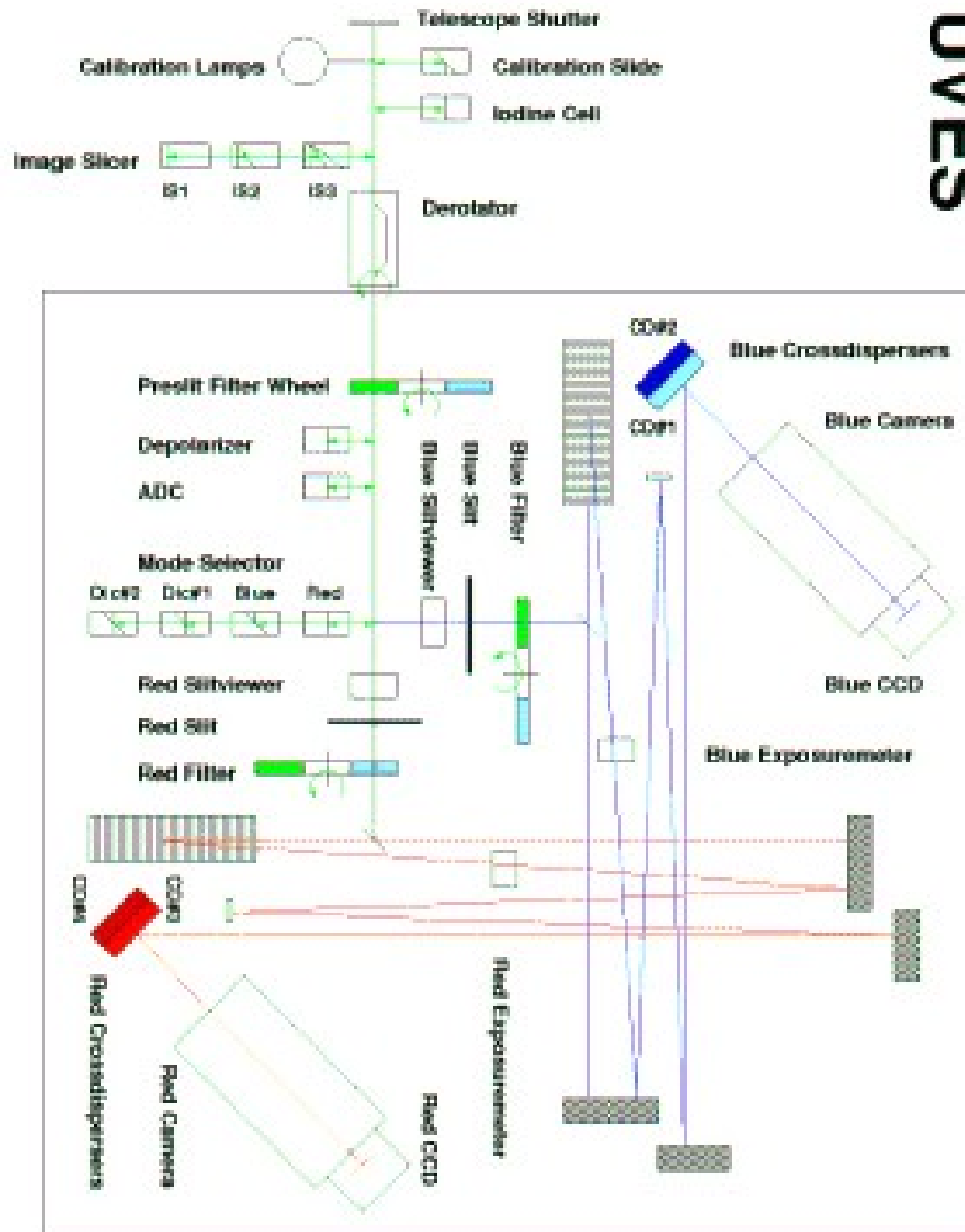
→  
**Pixeles (nm)**

## Gratings “echelle”

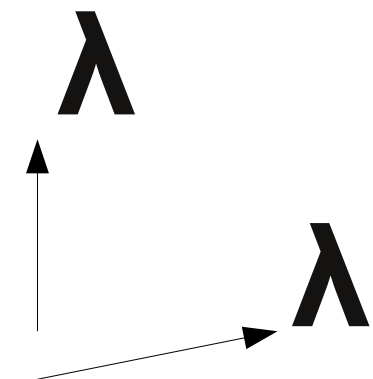
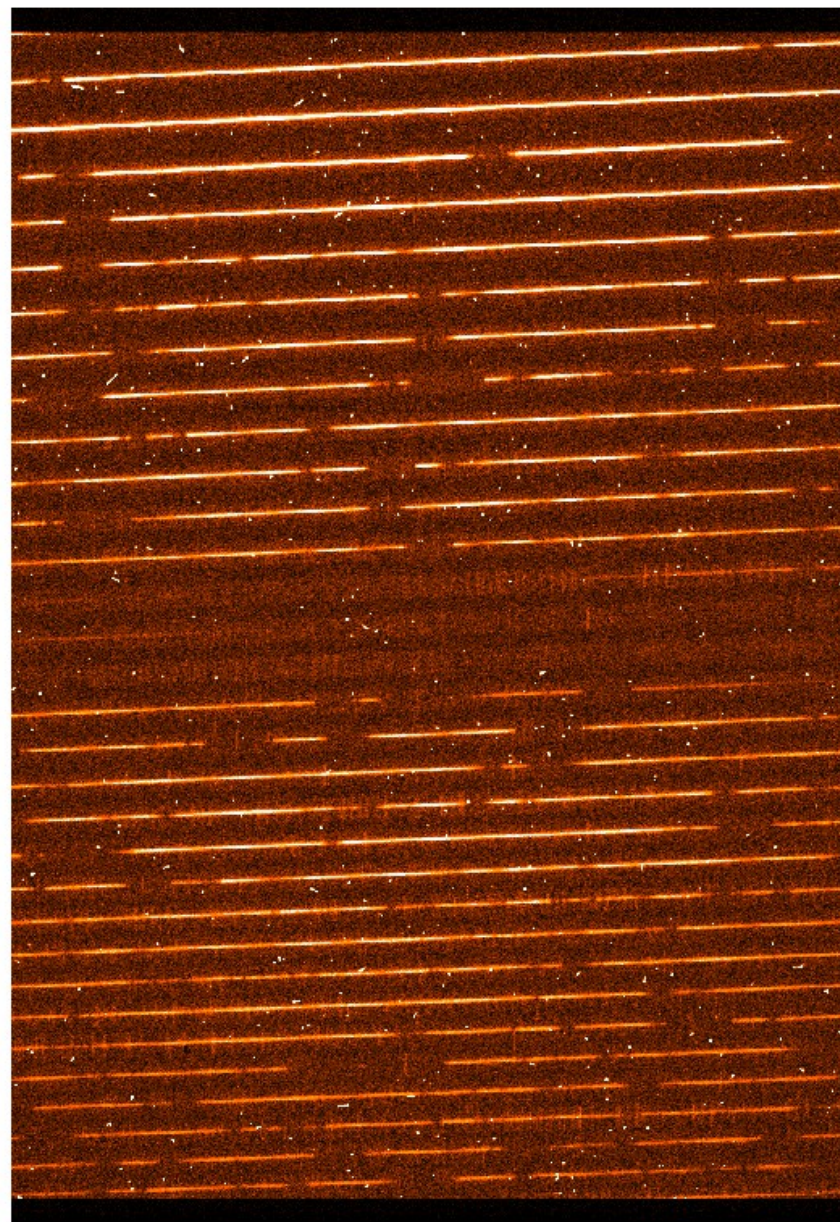
- extremadamente “blazed” a ángulos grandes --> órdenes altos
- Desventaja: confusión entre los órdenes. Órdenes se separan usando “dispersión cruzada” (prisma a 90 grados de dispersión del grating).
- Desventaja: “short-slit” --> fuentes puntuales.



# UVES

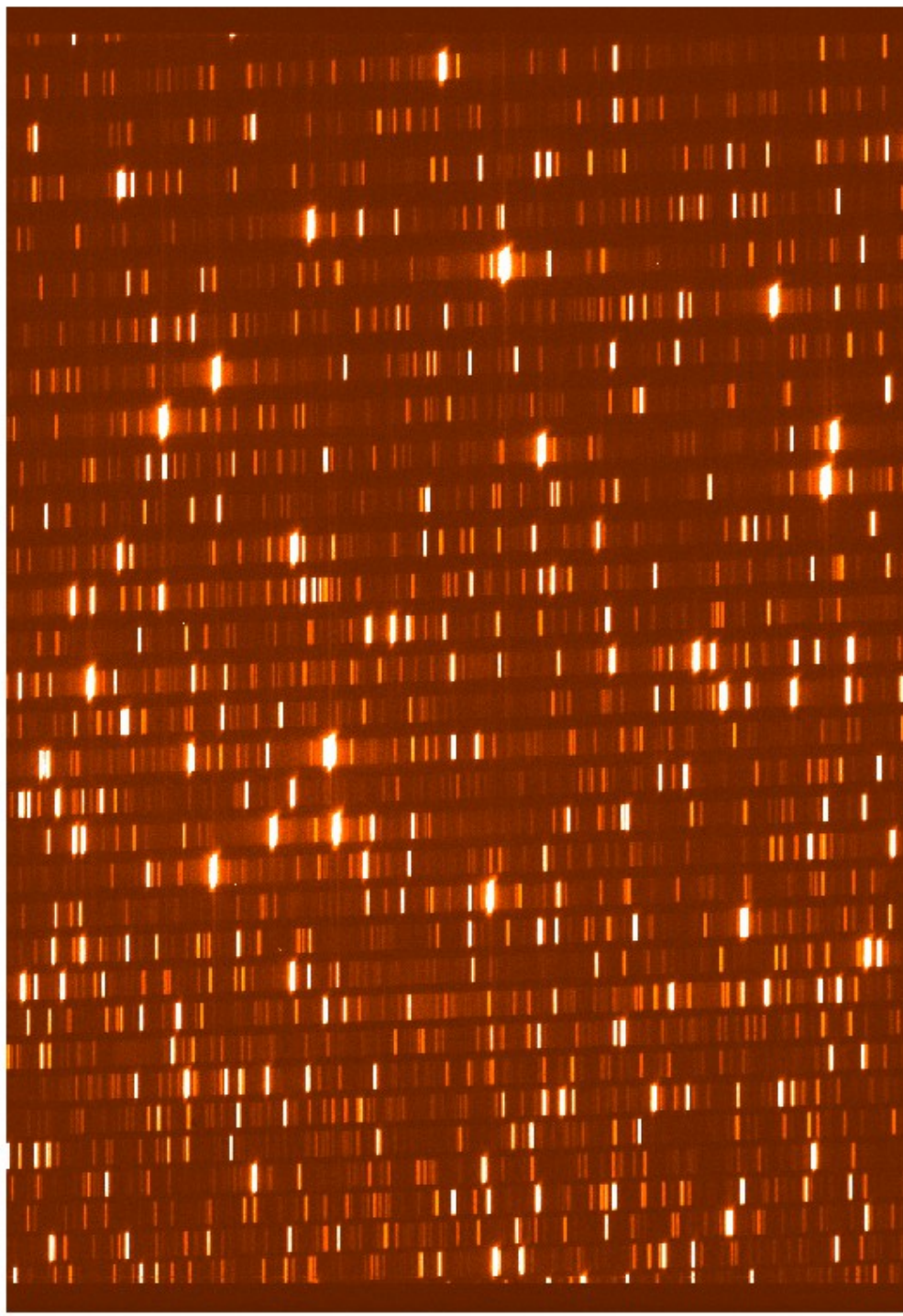


# Espectro “echelle”



## Calibración en longitud de onda onda.

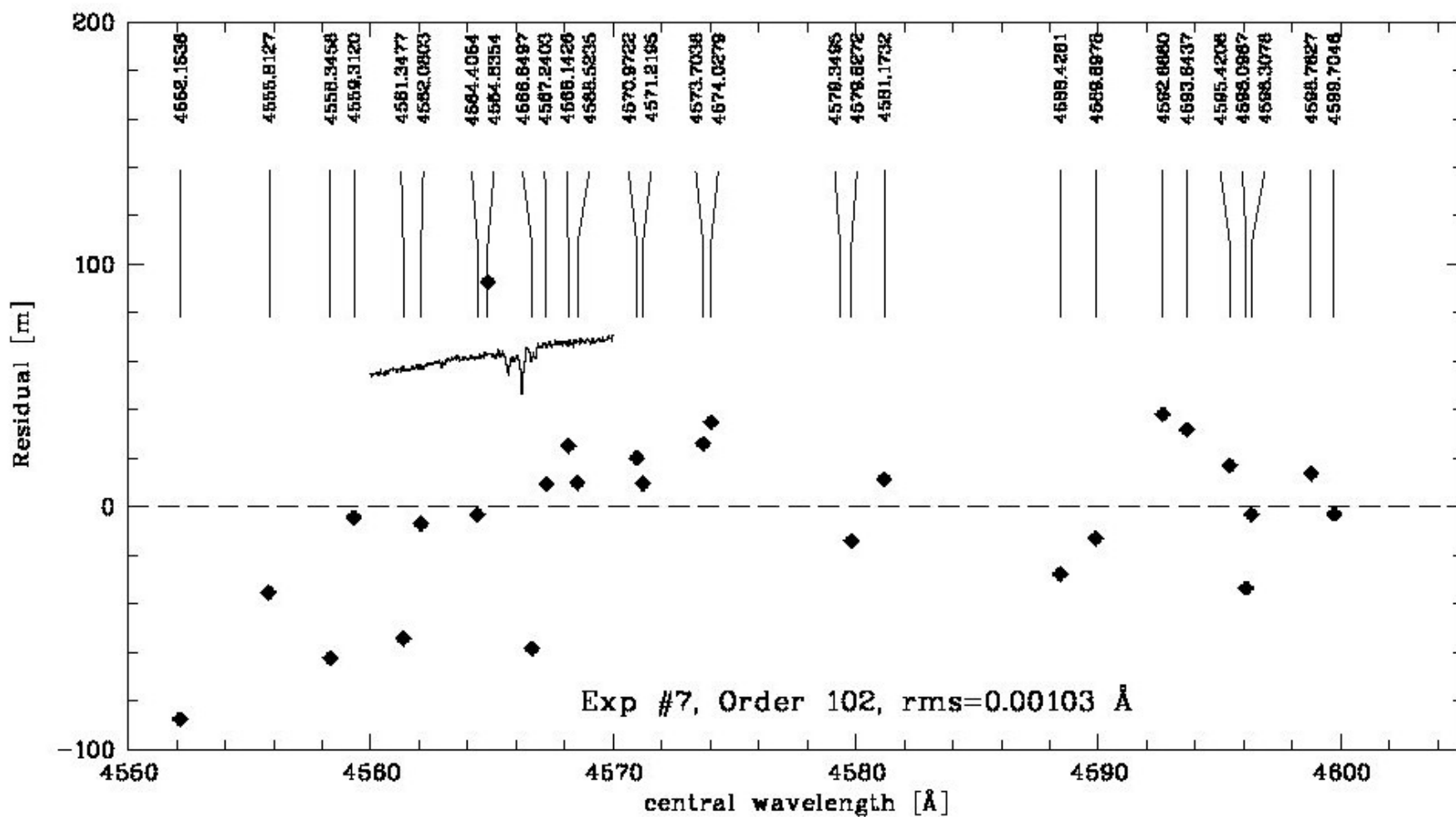
- Obtener espectro de comparación (mismo “setup”) de lámpara. Usualmente descarga de un cátodo en gas noble (He, Th, Ar).
- Usando atlas de líneas medidas en laboratorio, mapear “x” en “lambda”



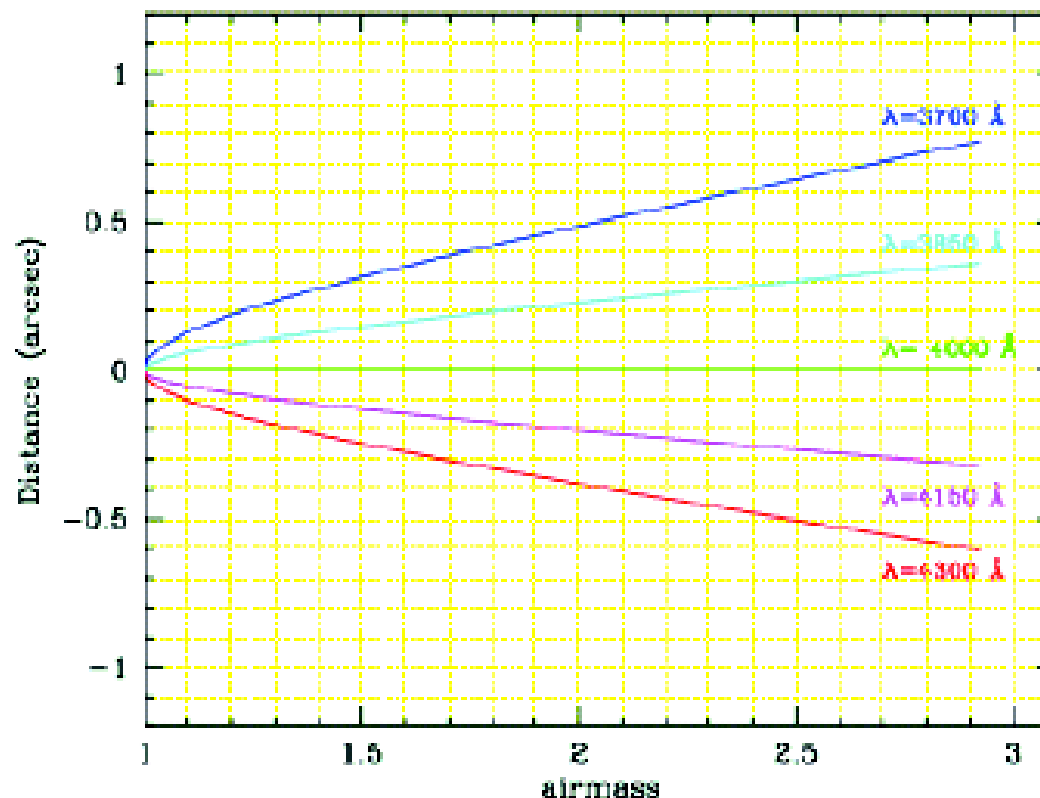
LAMP,WAVE

©2010 DIA DE LOS MUERTOS. ALL RIGHTS RESERVED.

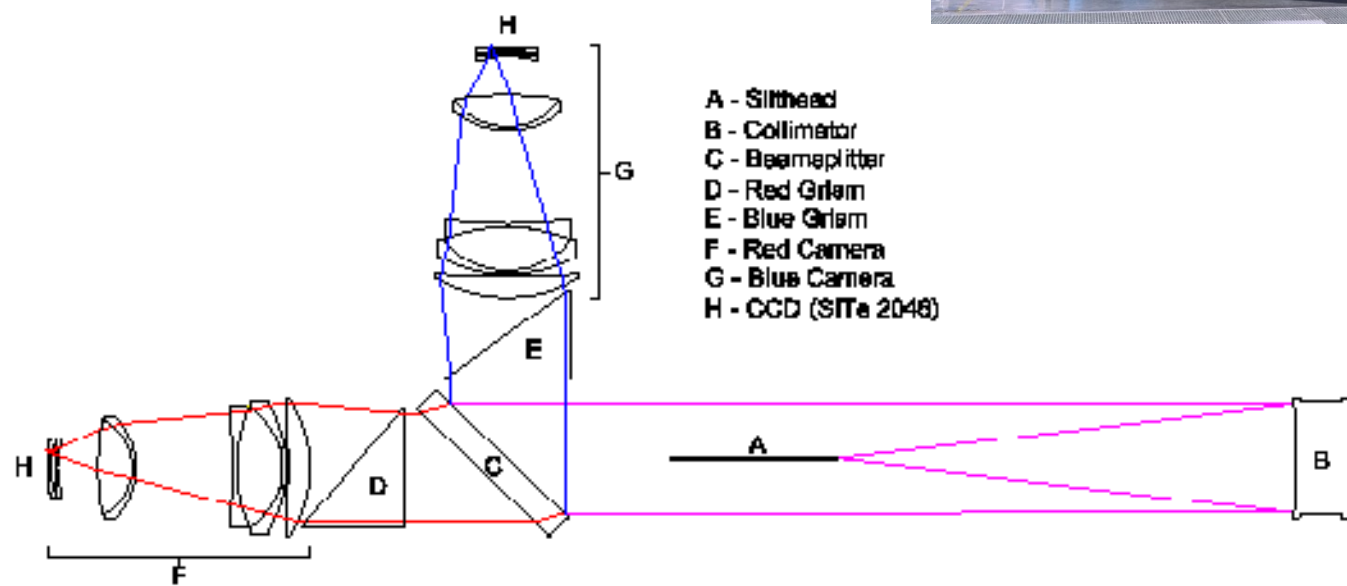
# Precisión de ~10 m/s: constantes físicas, planetas.



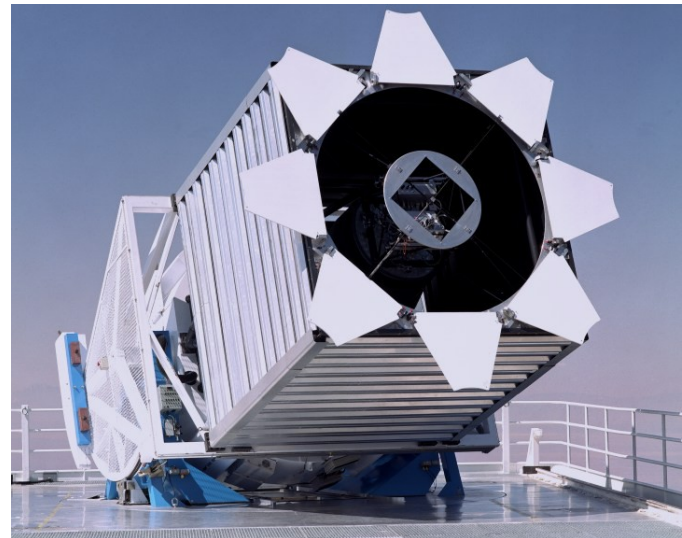
# Refracción atmosférica:



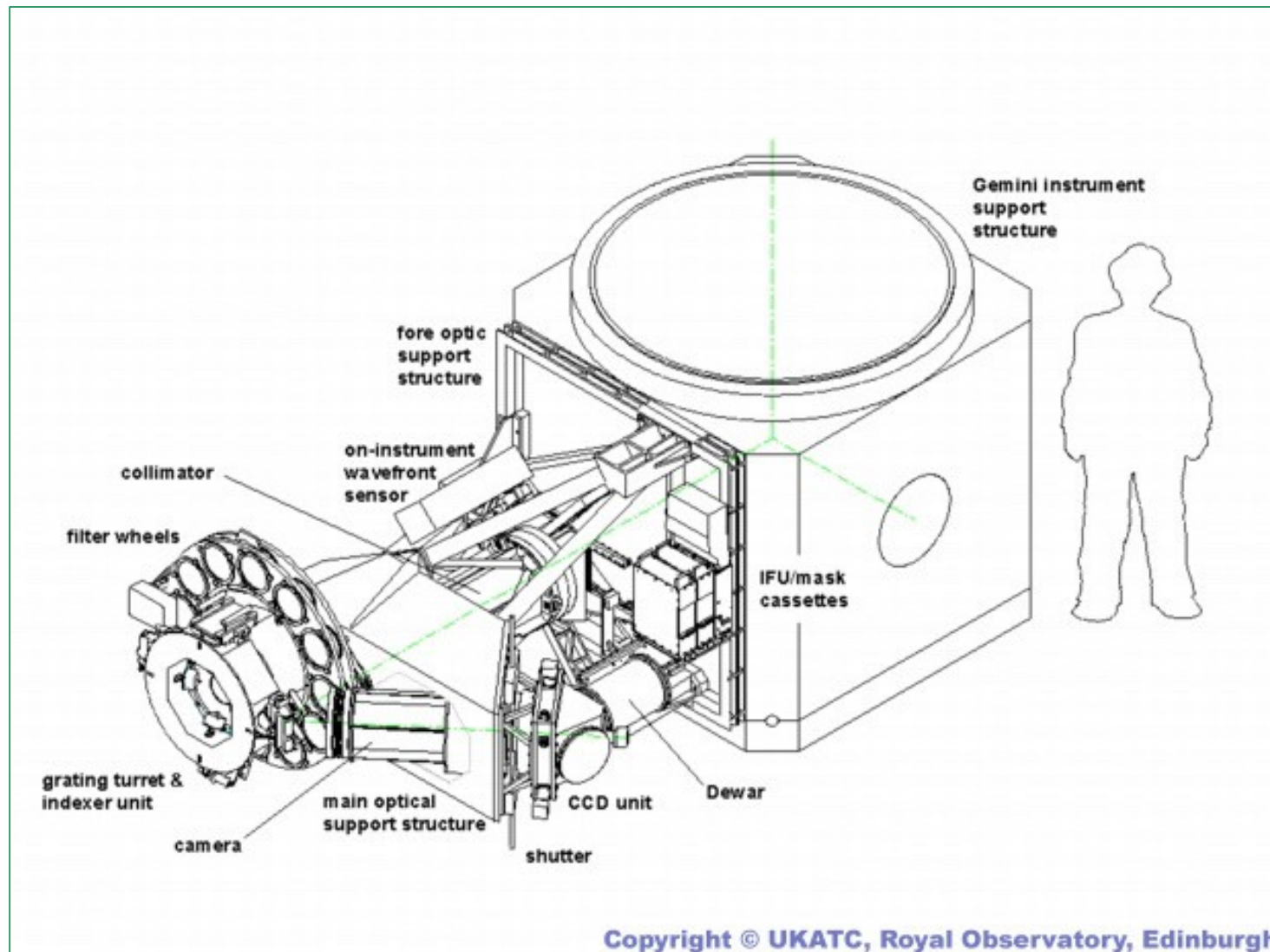
# “Surveys:” SDSS



SDSS Spectrograph



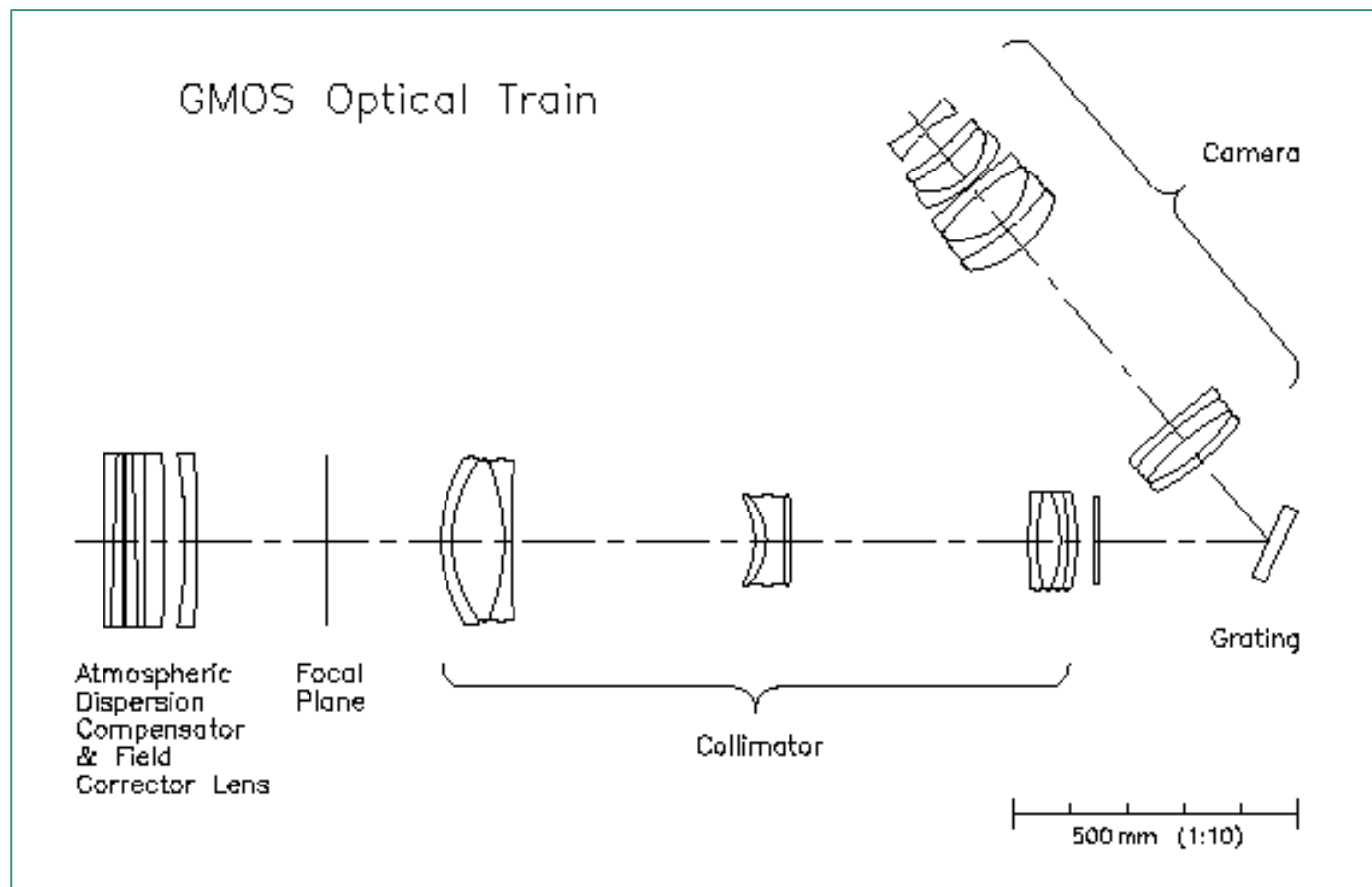
# Espectroscopía Multi-objeto: máscaras con multi-slits, también fibras



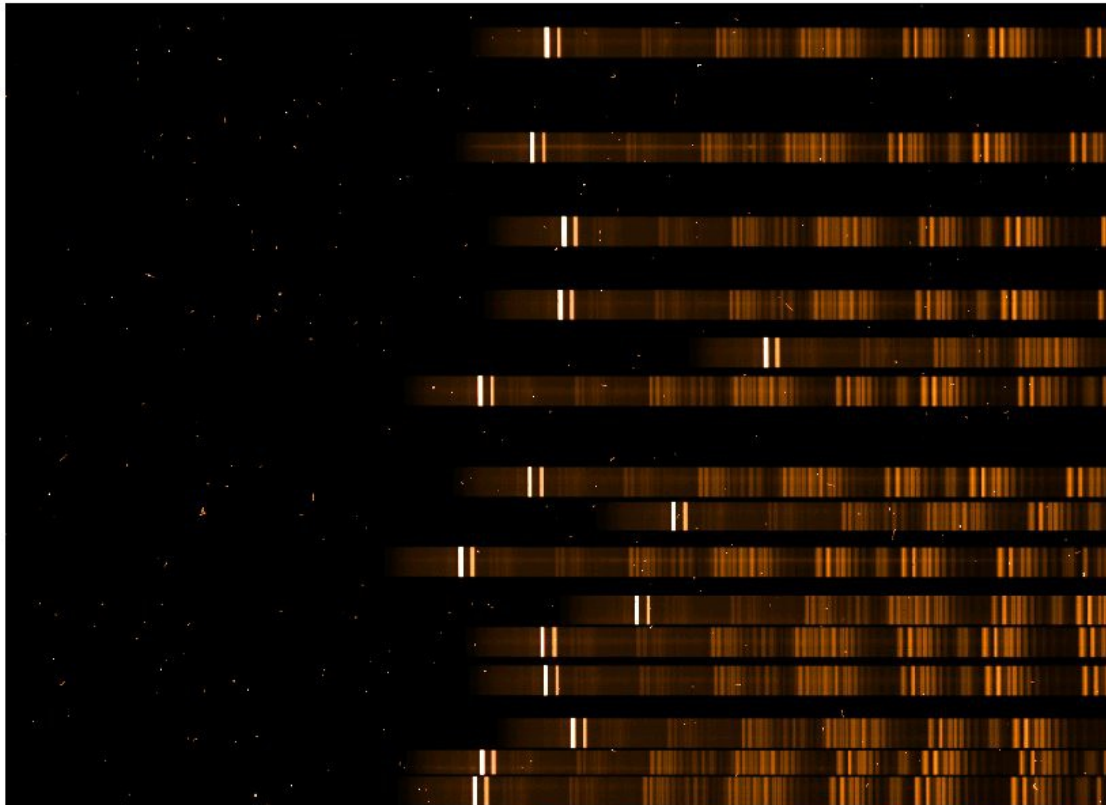
Copyright © UKATC, Royal Observatory, Edinburgh

GMOS  
@  
Gemini

# Espectroscopía Multi-objeto: máscaras con multi-slits, también fibras

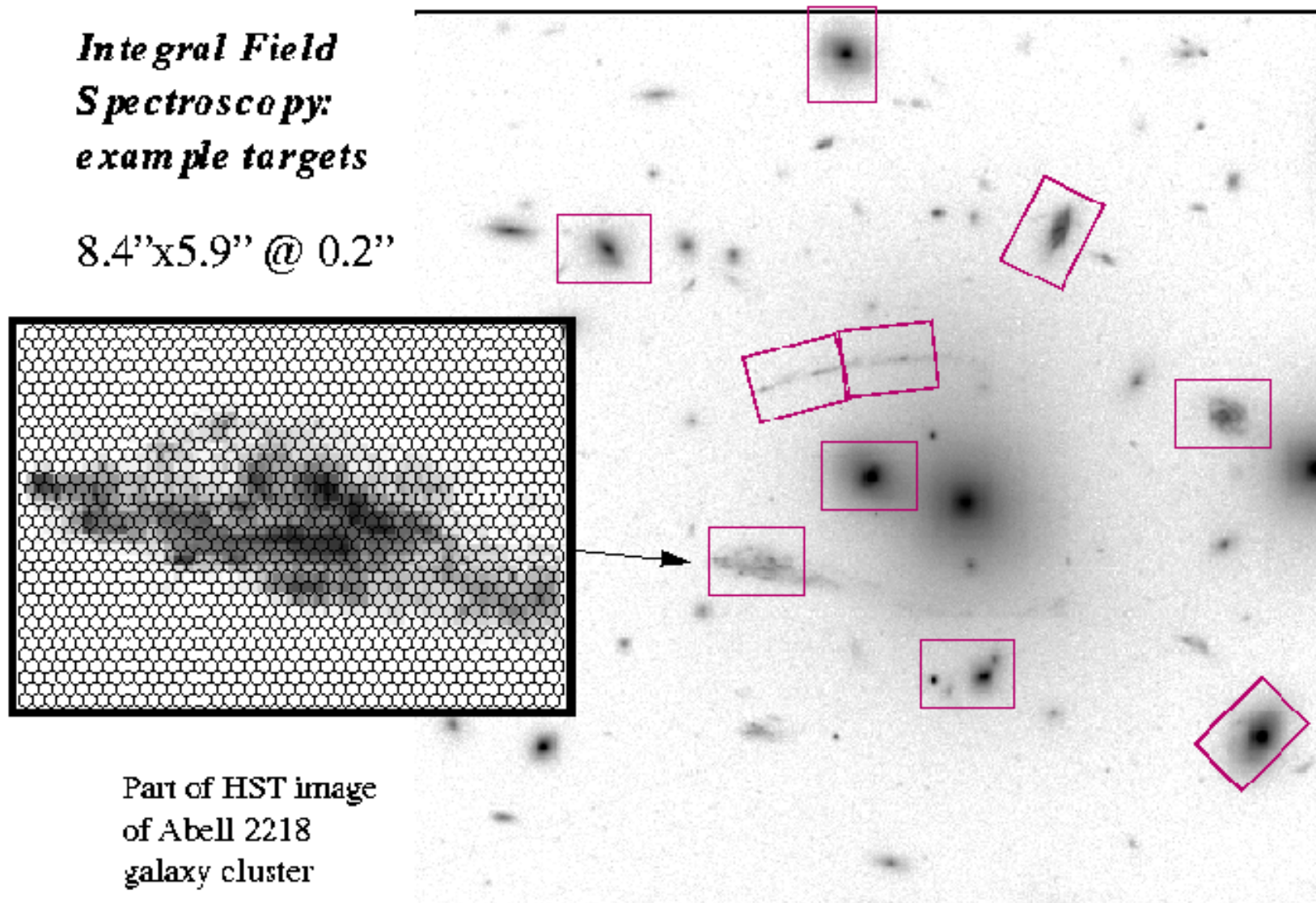


fibras

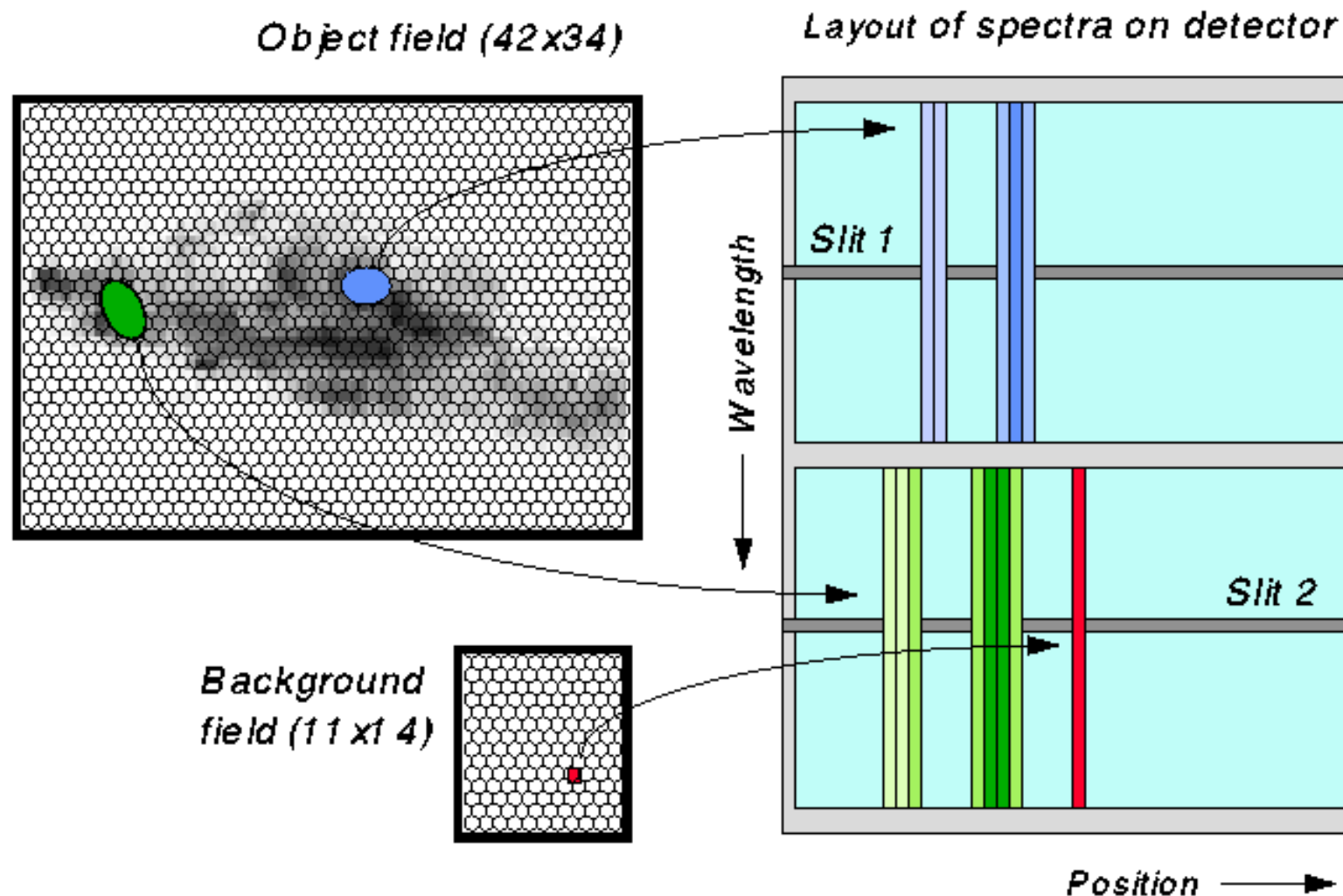


Galaxias  
c/ FORS1

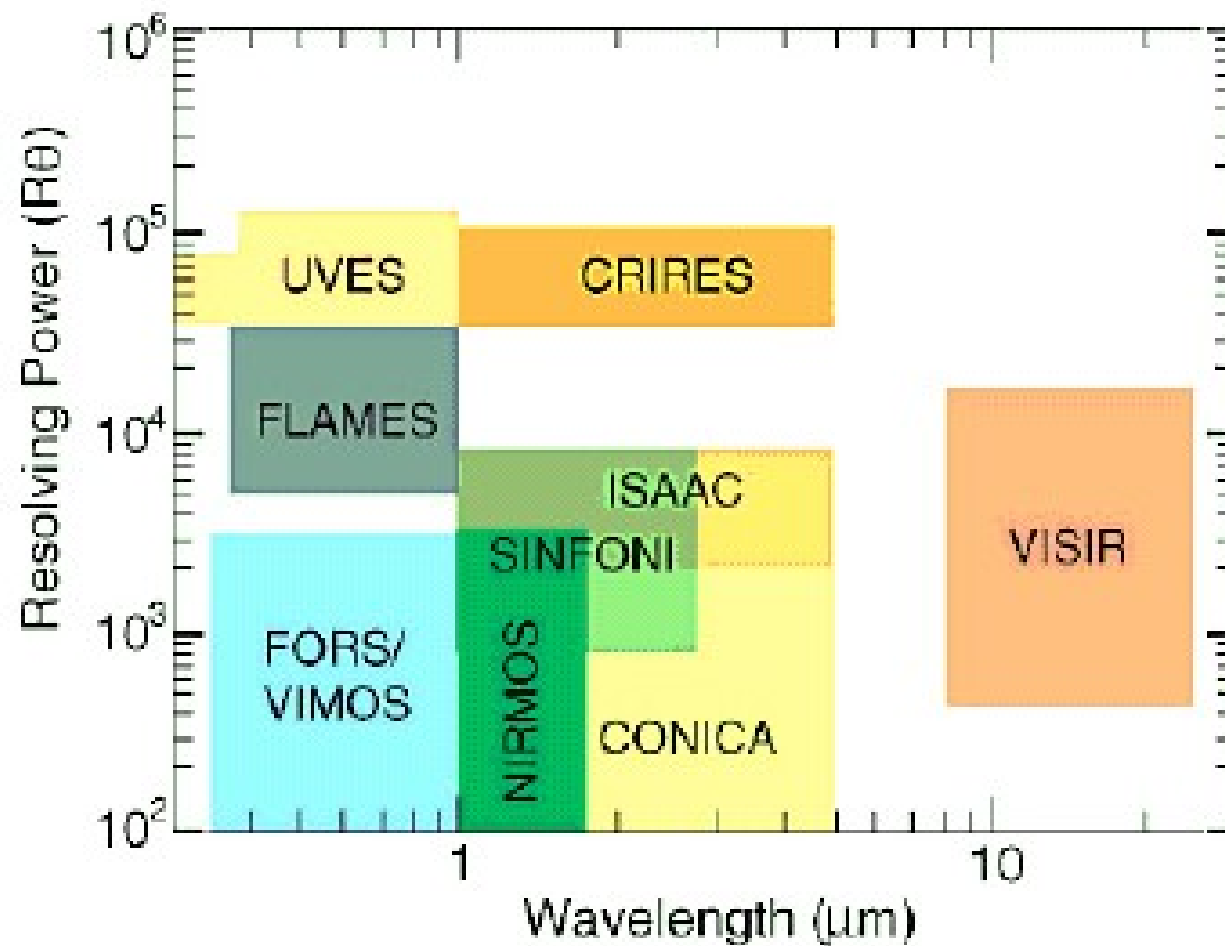
# Otras técnicas. “Integral Field Units”



## *Integral Field Spectroscopy: reformatting*



## Espectrógrafos en telescopios ESO (Gráfico de Claudio Melo)



# Futuro: laser combs

Precisión ~cm/s

